

数 値 的 相 対 論

柴田 大(東大総合文化)

内 容

0. イントロダクション

1. 数値的相対論において必要な要素
 2. 現状:どこまで進んだのか
 3. 3D計算例:連星中性子星の合体
 4. 大規模・軸対称数値的相対論
 5. まとめ

アニメーションは、<http://esa.c.u-tokyo.ac.jp/~shibata/indexj.html>を参照

0 . イントロダクション : 何故 ?

(A) 一般論

相対論的天体

- 中性子星、ブラックホール、それらの連星、宇宙全体 -
のダイナミクスを調べたいのならば、
アインシュタイン方程式を解かなくてはならない。



アインシュタイン方程式 = 連立非線形方程式。



残念ながら、数值的にしか解くことが出来ない。



数值的相対論

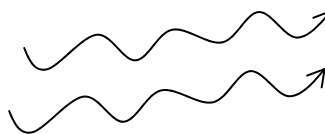
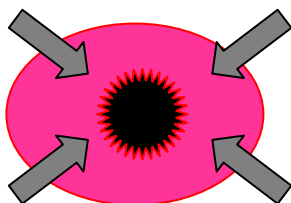
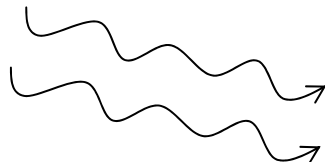
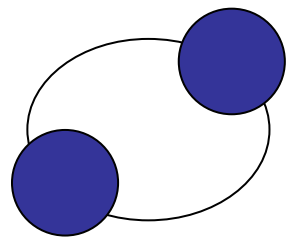
何故:

(B) 調べる必要があるほど重要な問題があるのか? YES

い) 重力波天文学が現実化しつつある。

TAMA, LIGO (米), GEO (独・英) が稼動中

➔ 連星の合体や星の重力崩壊により発生する
重力波の波形を理論的に予測しなくてはならない

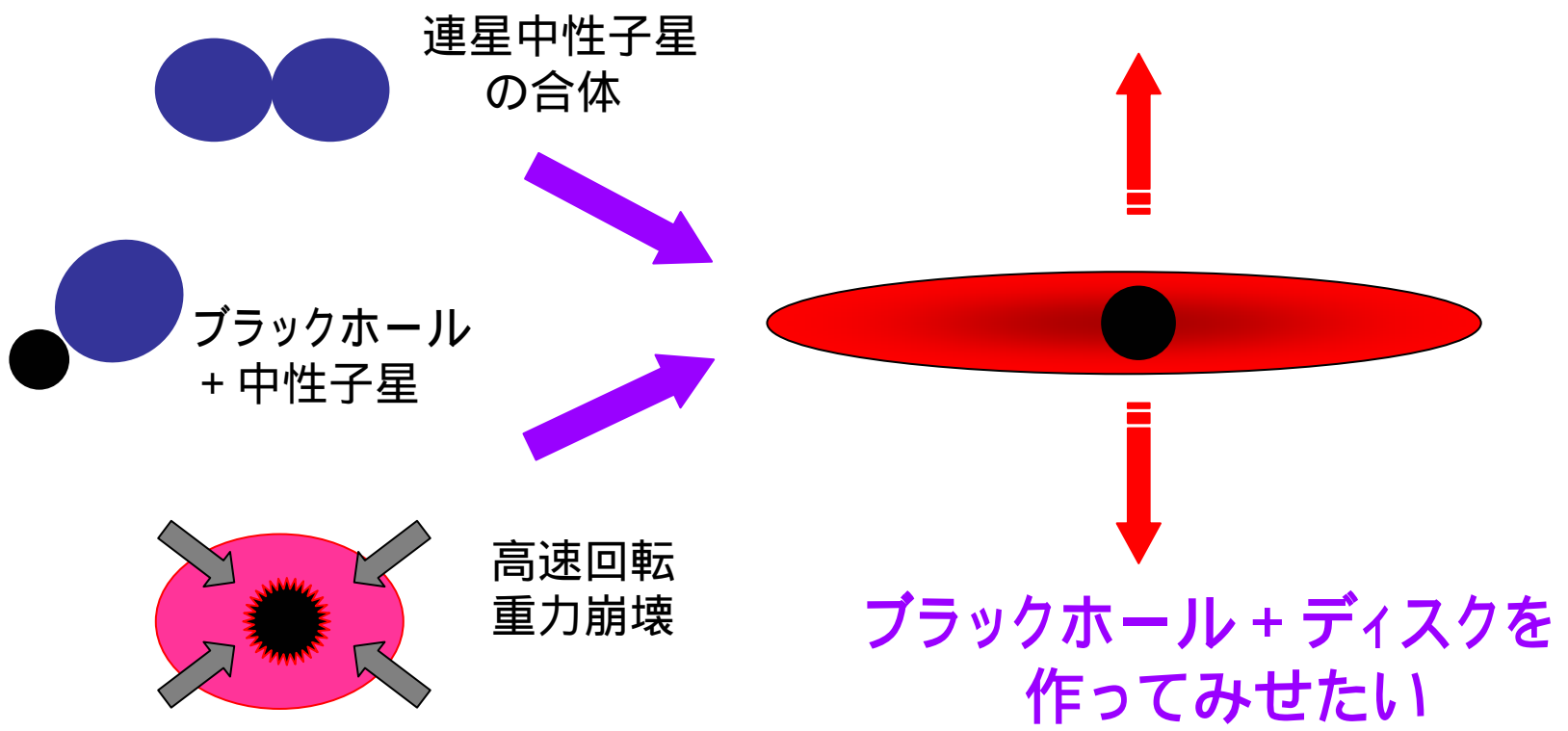


LIGO: Hanford = 感度上昇中

(B) 調べる必要があるほど重要な問題があるのか？ 続き

る) 解明すべき興味深い天体物理的問題がある。

例) ブラックホールの形成過程、
ガンマ線バーストの中心エンジン
= ブラックホール + ディスク



(B) 調べる必要があるほど重要な問題があるのか？ 続き

(は) 一般相対論的現象は観測するのが難しい、珍しい

- 現実的に起こっていると予想できるが、観測できない現象を計算機上で明らかにする。
- 現実には起こらないかもしれないが、一般相対論の特色が暴かれうる原理的問題を明らかにする。

1. 数値的相対論において必要な要素

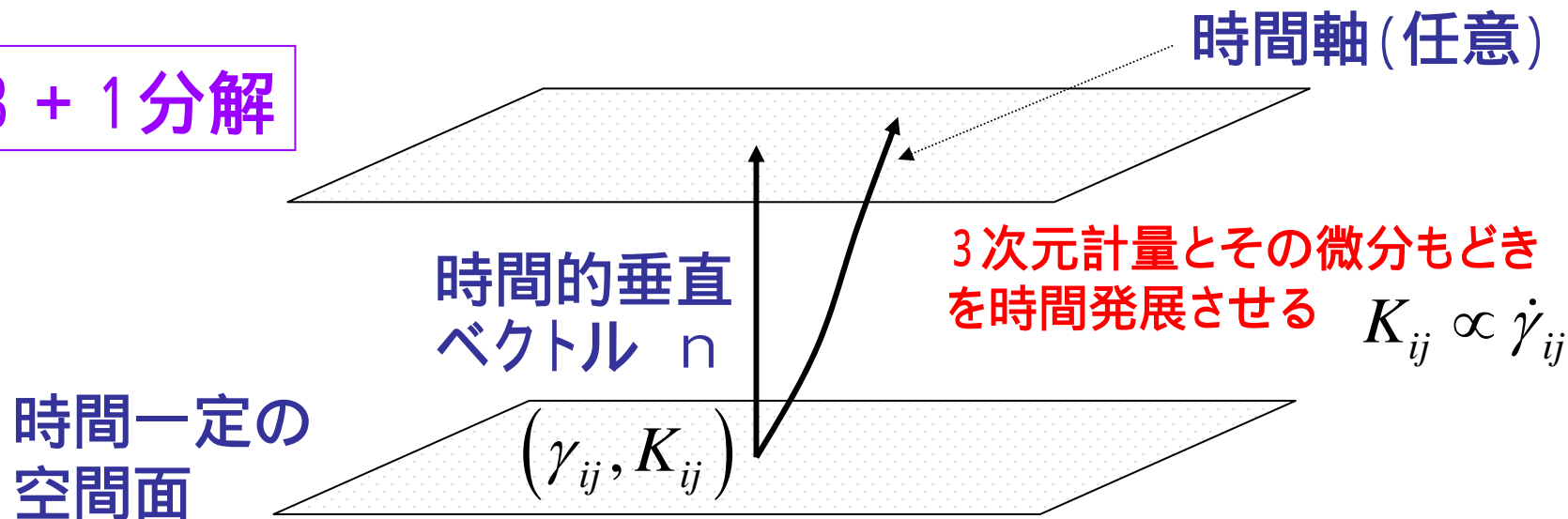
基礎方程式

- アインシュタイン方程式
- 相対論的物質場に対する発展方程式
相対論的流体 (相対論的粒子、スカラー場)

$$G_{\mu\nu} = 8\pi \frac{G}{c^4} T_{\mu\nu}$$
$$\left\{ \begin{array}{l} \nabla_{\mu} T^{\mu}_{\nu} = 0 \\ \nabla_{\mu} (\rho u^{\mu}) = 0 \end{array} \right.$$

アインシュタイン方程式の解き方

3 + 1分解



$$G_{\mu\nu} n^\mu n^\nu = 8\pi T_{\mu\nu} n^\mu n^\nu : \text{Hamiltonian constraint}$$

$$G_{\mu\nu} n^\mu \gamma_k^\nu = 8\pi T_{\mu\nu} n^\mu \gamma_k^\nu : \text{Momentum constraint}$$

$$G_{\mu\nu} \gamma_i^\mu \gamma_j^\nu = 8\pi T_{\mu\nu} \gamma_i^\mu \gamma_j^\nu : \text{Evolution equation}$$

γ_{ij} : 3-metric, n^μ : timelike normal

$$\left\{ \begin{array}{l} \nabla_i E^i = 4\pi \rho_e \\ \nabla_i B^i = 0 \end{array} \right\}$$

$$\left\{ \begin{array}{l} \dot{E}_i = (\nabla \times B)_i - 4\pi j_i \\ \dot{B}_i = -(\nabla \times E)_i \end{array} \right\}$$

T = 0 で束縛方程式を解き、その後は発展方程式 (双曲型) を解く。

数値的相対論に必要なコード

現実的初期条件

サイエンスを行うには必要

ゲージ条件 (座標条件)

特異点を避ける、座標の歪みをただす、など

計量と物質場 (流体、素過程) を発展させる

まず式の定式化、次に数値技術の開発

ブラックホール
誕生

重力波と計量から抽出

ホライズンの位置を決める

Horizon finders

波動帯までグリッドが必要
巨大コンピュータが必要

ホライズン近傍で
計量の勾配がきつくなる

ホライズン周りで特別な取り扱い

2 . 現状 : どこまで進んだのか ?

A. 現実的初期条件の与え方に関する現状

方程式

- ・重力場: スカラー、ベクトル楕円型方程式(束縛方程式その他)
- ・流体: 第一積分の式(例えば、ベルヌーイの式)

A-1: 相対論的回転星(大質量星の核、中性子星)

任意の回転則に対して、平衡形状を求める必要あり。

➡ 1989年小松 - 江里口 - 蜂巢以降可能。

A-2: 連星中性子星

渦度ゼロの準平衡形状を用意する必要あり。

➡ 1999年瓜生、Bonazzola-Marck-Gourgoulhon以降可能。

A-3: 連星ブラックホール、ブラックホール-中性子星

未だにもっともらしい初期条件は存在しない。

B . アインシュタイン発展方程式に対する定式化

Standard 3+1(ADM) : Evolve (γ_{ij}, K_{ij})
(3metric & extrinsic curvature)
12 hyperbolic equations

(Arnold , Deser , Misner 1962; York 1979)



不安定

(発散する数値的・非物理的モードが存在するため)

数値計算に適した形式

Modified 3+1 (Nakamura 87, Shibata-Nakamura 95, S 99):

1 例

$$\left(\begin{array}{l} \tilde{\gamma}_{ij} = \gamma^{-1/3} \gamma_{ij}, \quad \gamma = \det(\gamma_{ij}), \quad F_k = \delta^{ij} \partial_i \tilde{\gamma}_{jk}, \\ K = K_{ij} \gamma^{ij}, \quad \tilde{A}_{ij} = \gamma^{-1/3} \left(K_{ij} - \frac{1}{3} \gamma_{ij} K \right) \end{array} \right)$$

12 hyperbolic eqs. for $(\tilde{\gamma}_{ij}, \tilde{A}_{ij})$

+5 auxiliary nonhyperbolic eqs. for (γ, K, F_i)

+appropriate use of constraints equations and $\det(\tilde{\gamma}_{ij})=1$

for rewriting the evolution equations

➡ 安定

その他にも、Kidder – Scheel - Teukolsky, Scheel – Lindblom ,
Alucubierreらなどの重要な仕事あり。世界的に活発な研究領域である。
真貝君のポスター参照。

C. 相対論的流体

(1) Wilson流の昔からある方法(人工粘性を付加。)

- ・比較的簡単にコードが作成可能。
- ・星の周りに大気を置く必要なし。
- ・強い衝撃波が発生しなければ、まあよろしい(S99, 00)。
(例: 連星中性子星の合体、中性子星の振動)
- ・強い衝撃波が発生する問題に対しては疑問。
(星の重力崩壊、超新星爆発)

(2) 最近: 特性曲線に沿って解く(例; ロー法)

(Valencia(スぺ), Munchen(独)で近年研究されてきた。

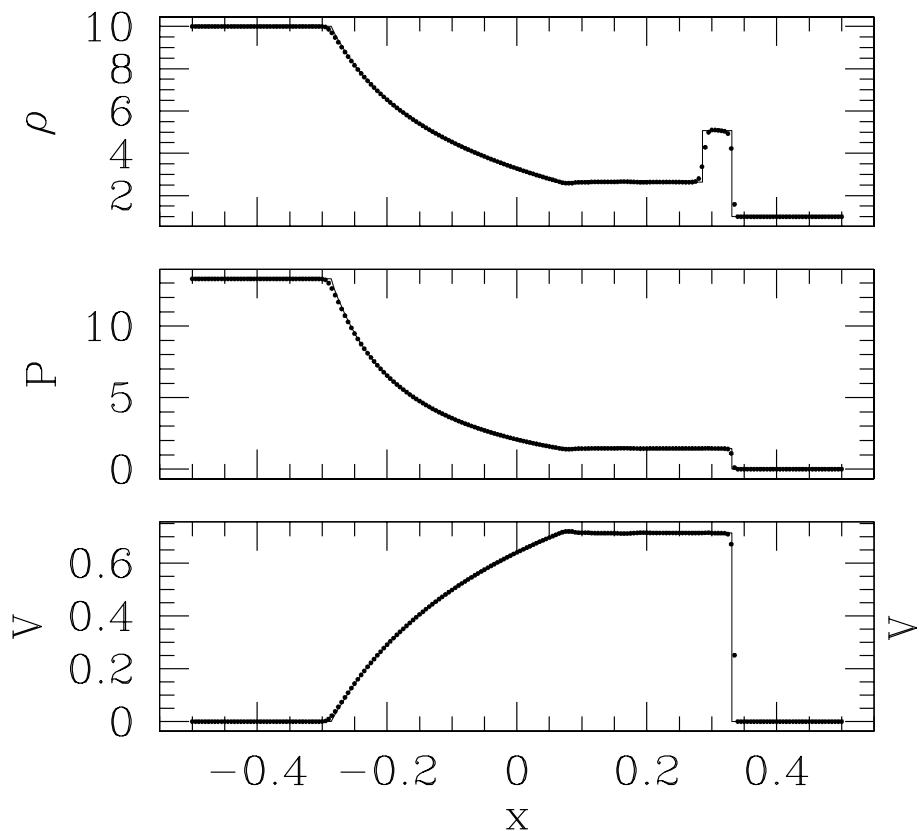
Toni Font, <http://www.livingreviews.org/Articles/>)

重力崩壊など、衝撃波が本質的になる場合にも有効。

特殊相対論における標準的テスト

(この私の計算例では3次Roe法もどきを使用)

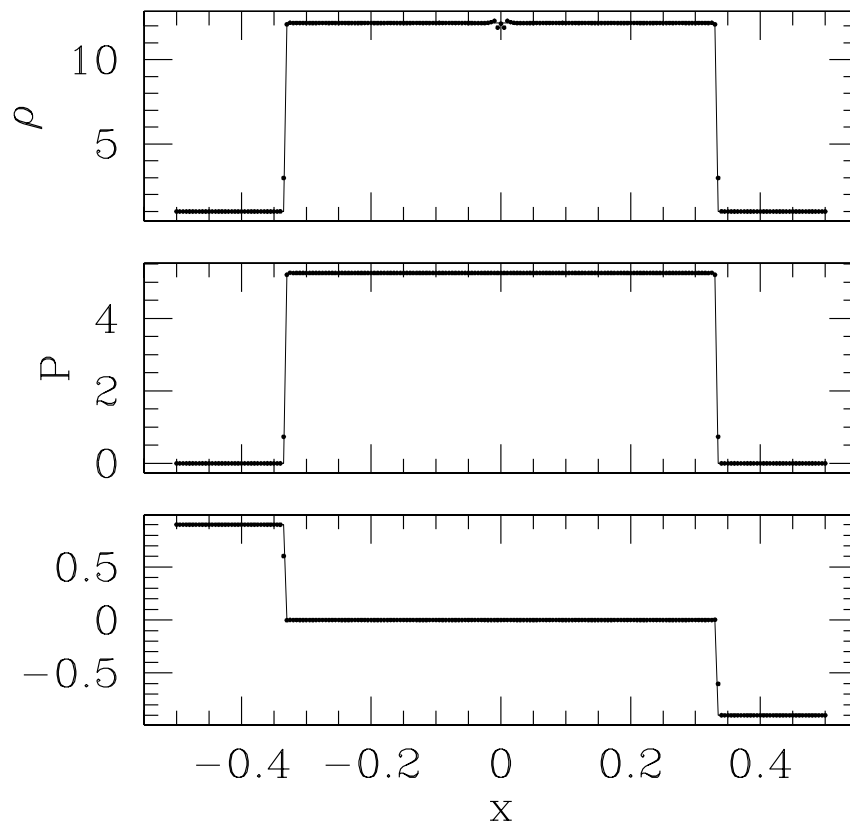
Riemann Shock Tube



$N = 400, \Gamma = 5/3$

200点だけプロット

Wall Shock



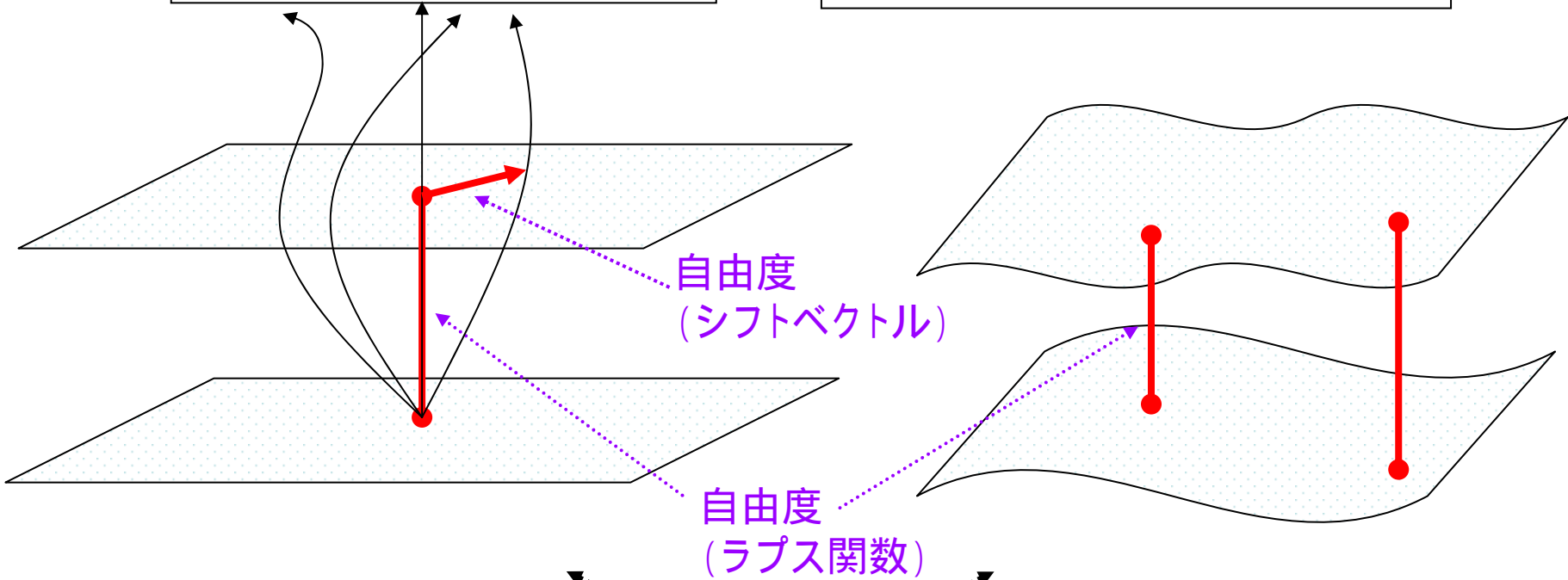
$V = 0.9.$

$N = 400, \Gamma = 4/3$

D. ゲージ条件 (座標条件)

どのように時間方向を選んでも構わない。

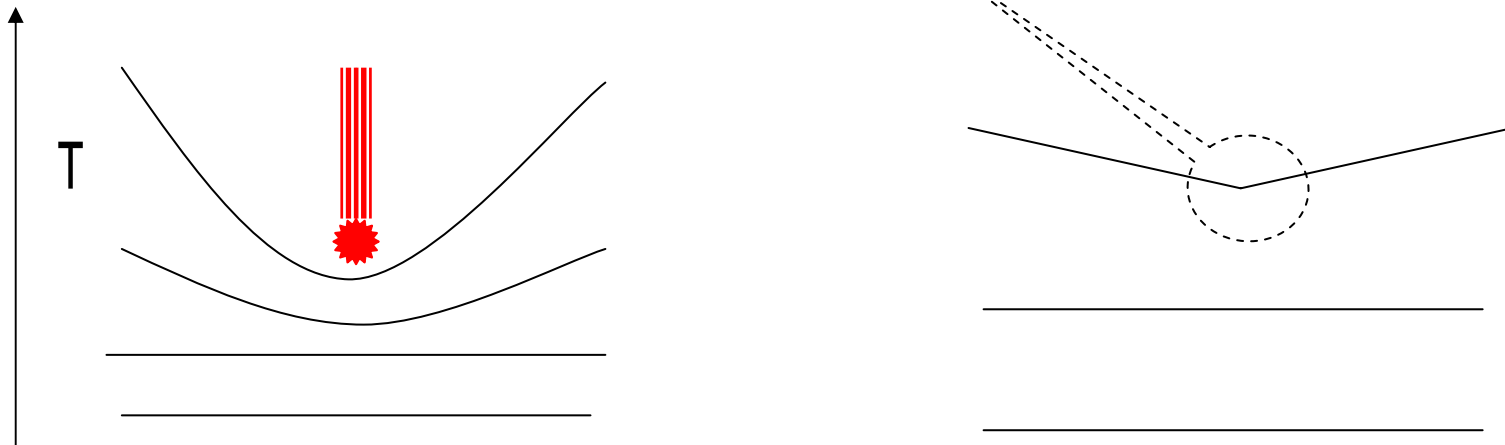
垂線からのずれの自由度
= シフトベクトルの自由度



どのような形に時間一定の空間面を選んでも構わない。

垂線の距離の自由度
= ラプス関数の自由度

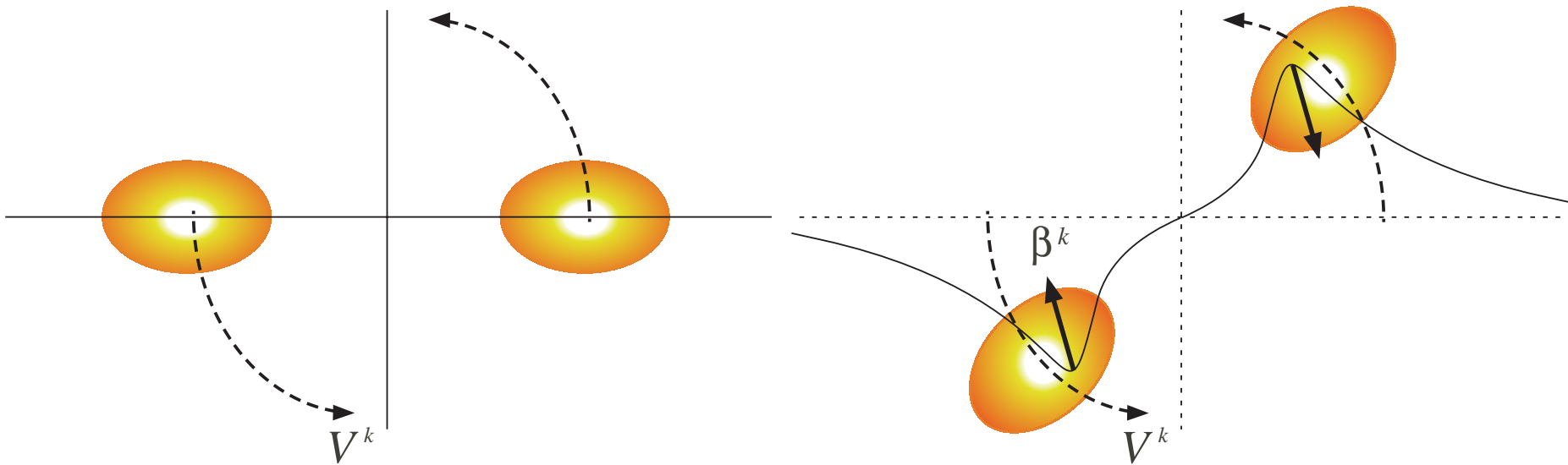
- Slice : Maximal slicing (ポピュラー)
 - ブラックホール形成時に特異点を避ける。
 - 座標特異点を避ける。



球対称計算でもチェック可能

- Spatial gauge : Minimal distortion gauge
(Smarr & York, 78)
 - 座標のゆがみやねじれを発生させない。

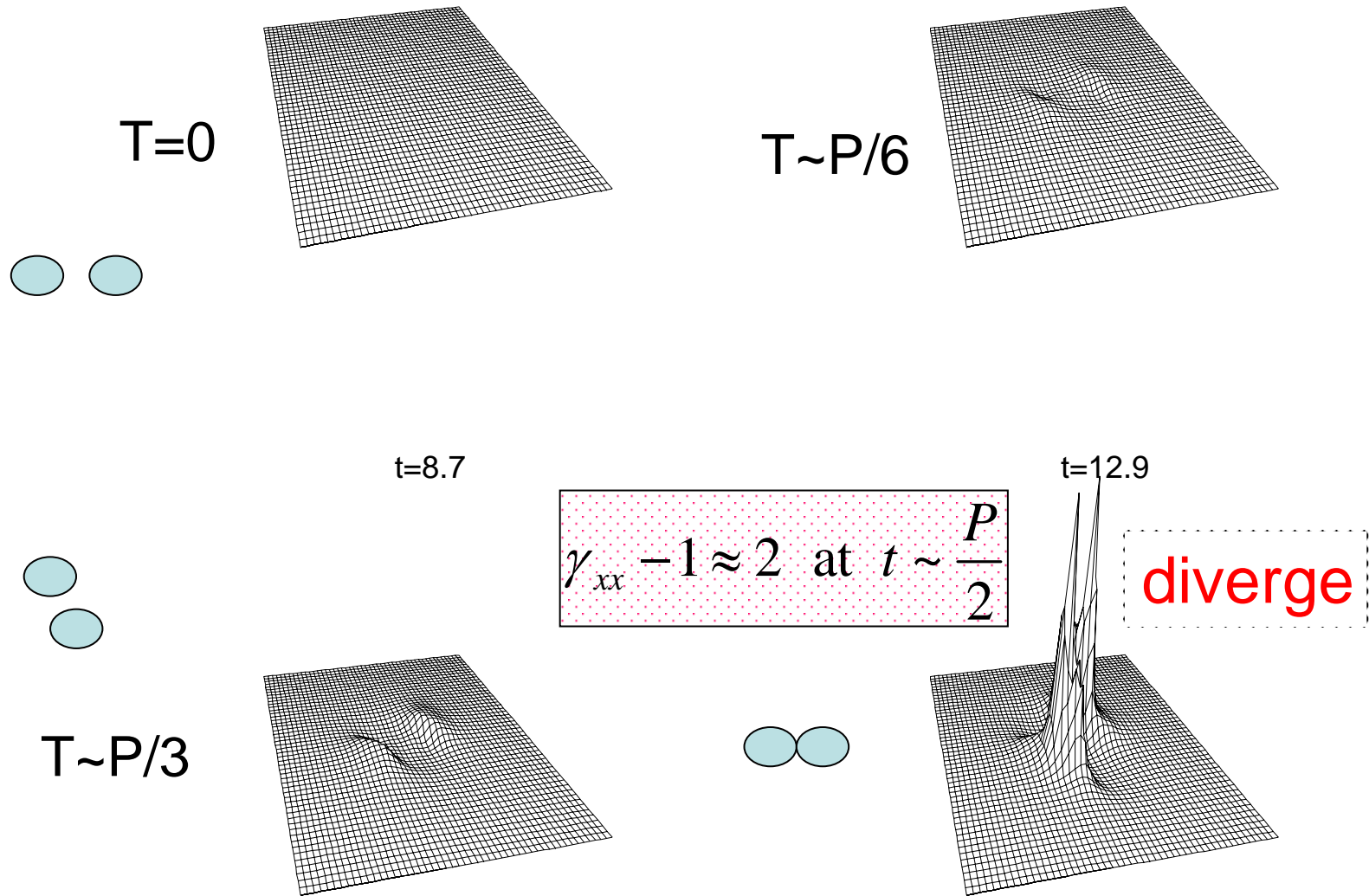
本質的に3D問題



Frame dragging → 座標が捻じれる。

座標変換自由度(シフトベクトル)で捻じれを抑える。

赤道面上での3次元計量のある成分(γ_{xx})の 時間発展 : zero shift vector



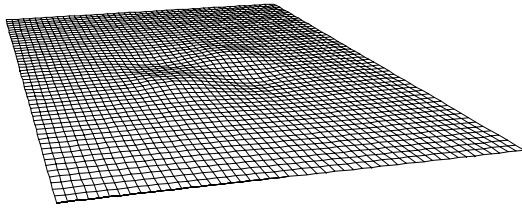
座標ゆがみが単調に積もる.

Minimal distortion gauge (もどき) の場合

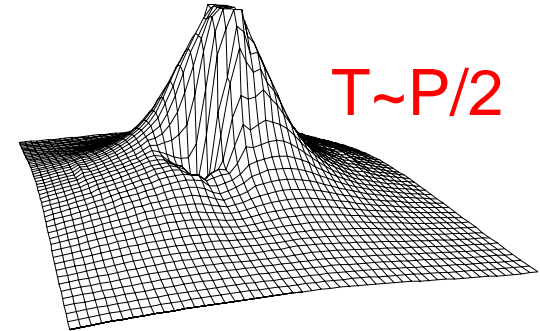
t=4.7

t=12.5

T~0



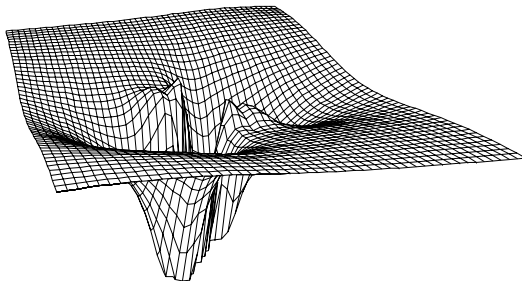
T~P/2



T~0

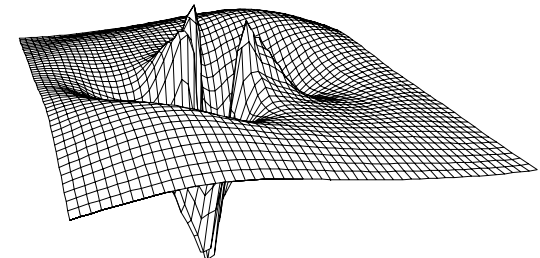
Metric (γ_{xx}) は単調に振動

T~3P/4 t=19.4



$$|\gamma_{xx} - 1| < 0.1 \text{ at } t \sim P$$

t=26.9



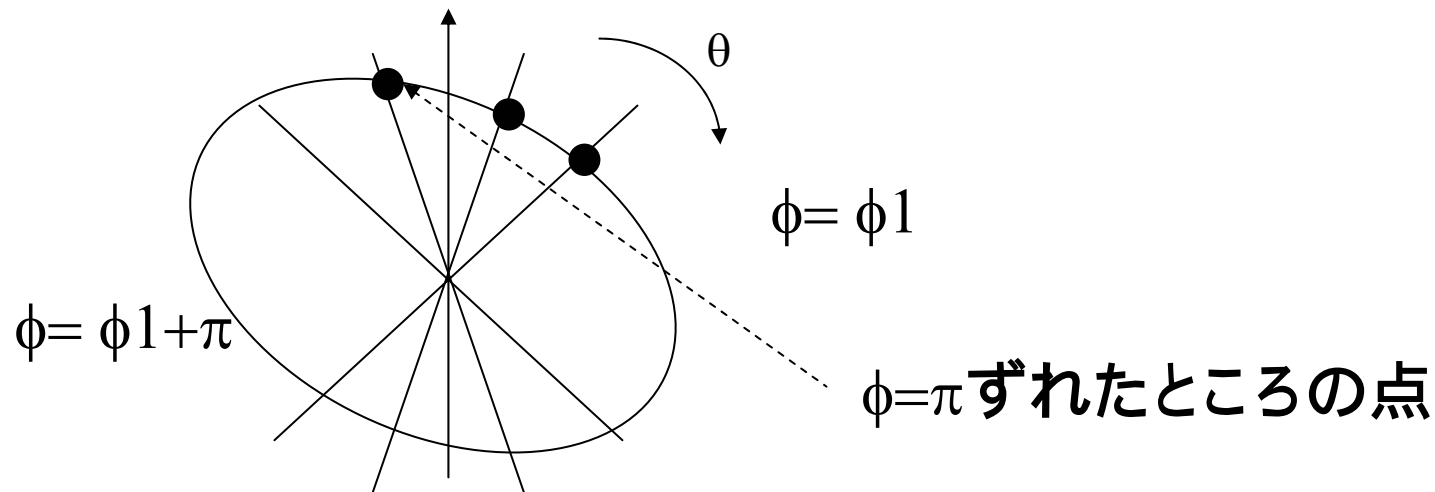
E. 3次元空間に対するApparent horizon finder

面を決める = $r(\theta, \phi)$ に対する楕円型の方程式に帰着

$$\Delta_2 r(\theta, \phi) = S[r, \theta, \phi, g_{\mu\nu}, K_{\mu\nu}]$$

昔: 軸上での境界条件が分からないので、どう解いていいかわからない??

現在: そんなことはない。簡単に解ける(柴田-瓜生)。
(境界条件なし)



F. コンピュータ資源 (他力本願)

・ Machine : FACOM VPP5000 (NAOJ, Vector-Parallel machine)

・ 最大 = 48 PE (720GByte)

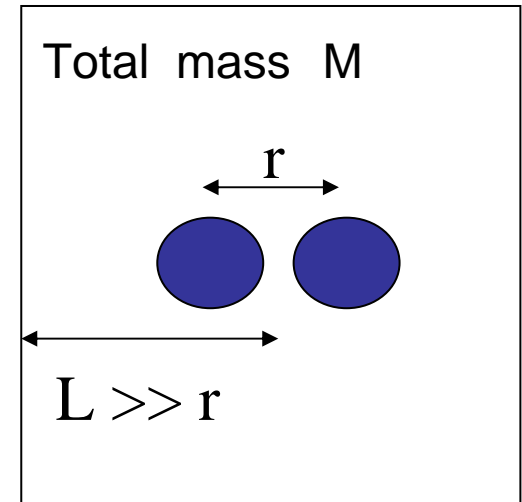
・ 実際上 = 32 PE (500GBytes)

・ 必要なメモリー: 連星の合体を例として。

$$\lambda_{GW} \leq \lambda_{ISCO} \approx 58 \left(\frac{GM}{c^2} \right) \left(\frac{rc^2}{7GM} \right)^{3/2}$$

$$\text{Require } L \geq \lambda_{GW} \quad \& \quad \Delta x \leq 0.2 \left(\frac{GM}{c^2} \right)$$

$$\Rightarrow \frac{L}{\Delta x} \geq 290 \left(\frac{rc^2}{7GM} \right)^{3/2} \quad \& \quad N \geq 580 \left(\frac{rc^2}{7GM} \right)^{3/2}$$



典型的グリッド: 505 * 505 * 253 (赤道面对称)

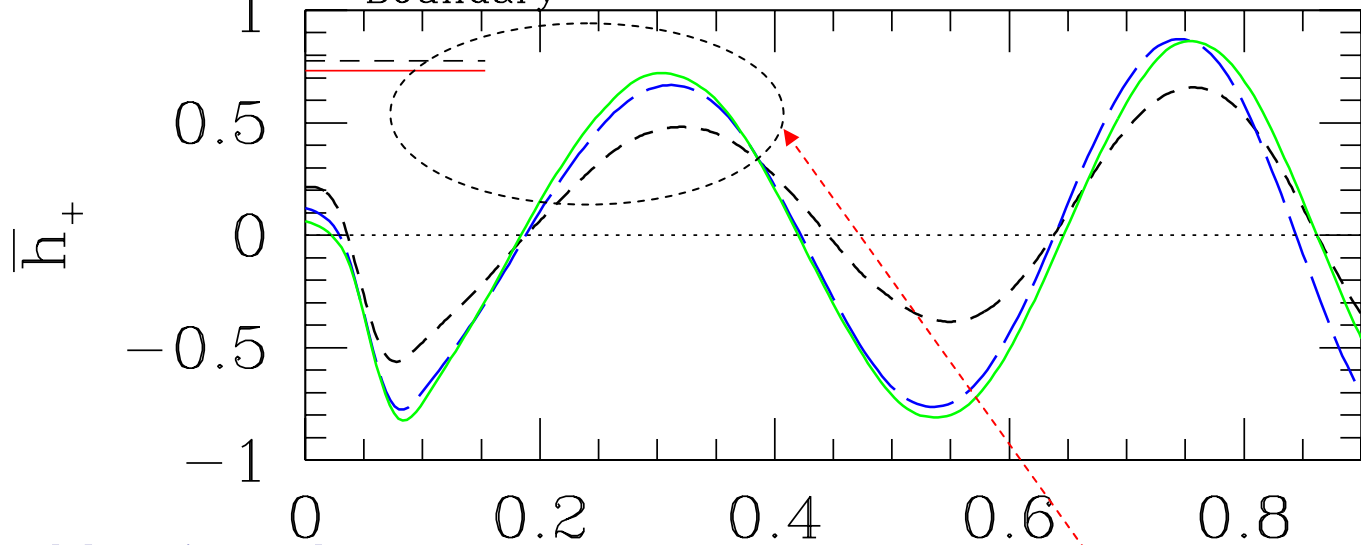
(~ 120GByte、 ~ 100CPU hours、 ~ 10000ステップ)

これまで最大: 633 * 633 * 317

(~ 250Gbyte、 ~ 200CPU hours、 ~ 10000ステップ)

N=500で十分なのわけではないが、必要最小限度には到達。

$L_{\text{Boundary}}/\lambda = 0.79$ vs 0.63 vs 0.36



$M/R = 0.16$ case
($R \sim 13\text{km}$ for $M=1.4$)

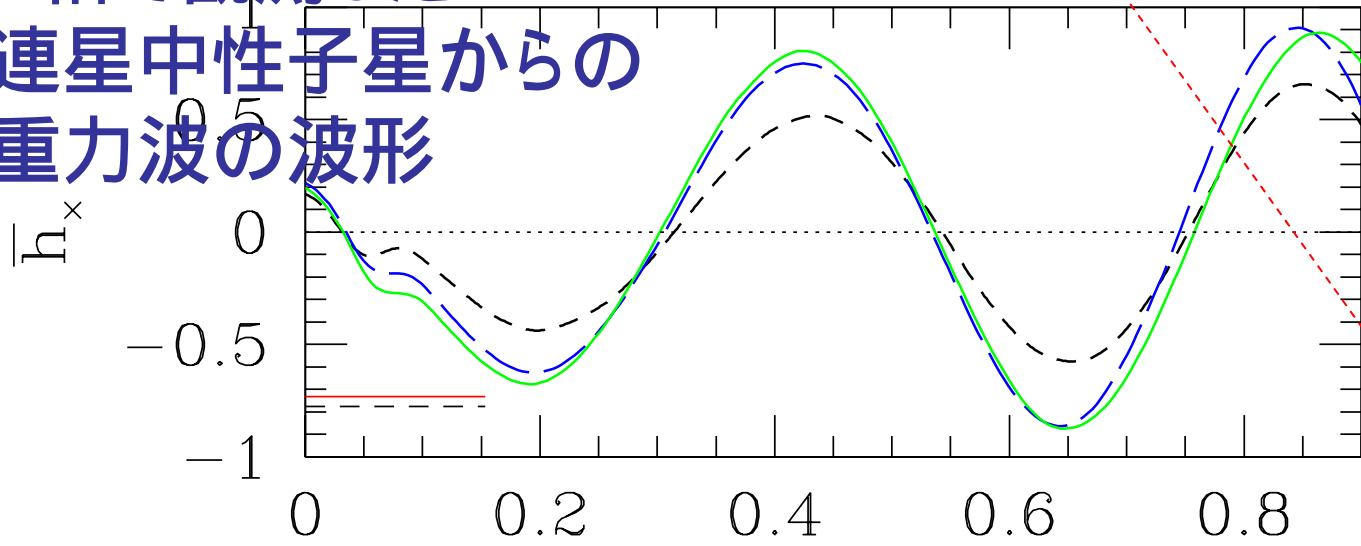
Green:
 $633 * 633 * 317$

Blue:
 $505 * 505 * 253$

Dotted Curves:
 $293 * 293 * 147$

Red : 2.5PN amp.

Z軸で観測した
連星中性子星からの
重力波の波形



Time $(t - z_{\text{obs}}) / P_{t=0}$

まあまあの収束
PN計算とも一致

必要な要素：現状のまとめ

現実的初期条件

回転星、連星中性子星 = OK

ゲージ条件 (座標条件)

OK

計量と物質場 (流体) を時間発展させる

ブラックホール
誕生

OK

重力波と計量から抽出

だいたいOK。
工夫は必要。

ホライズンの位置を決める

Horizon finders OK

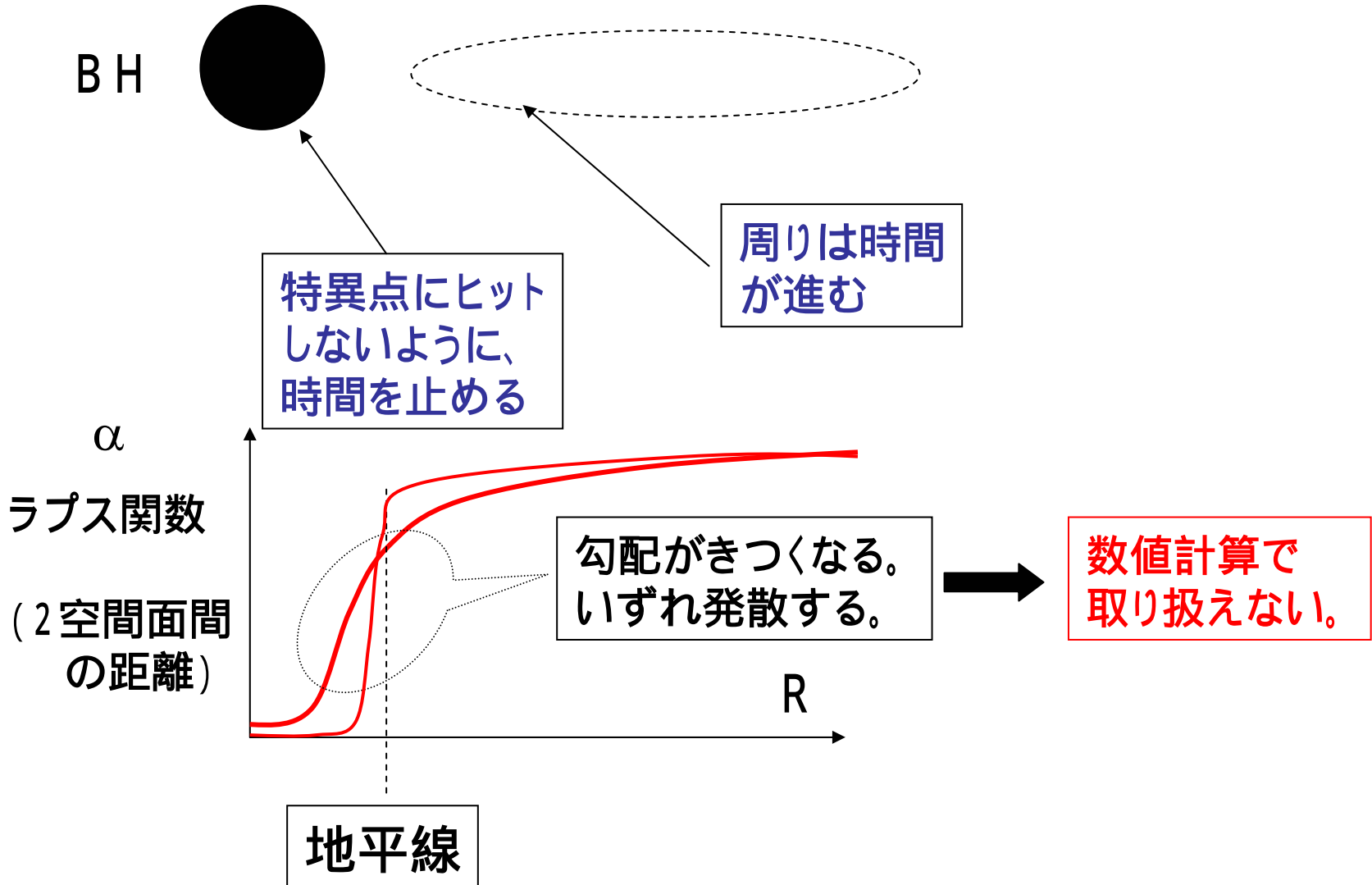
波動帯までグリッドが必要
巨大コンピュータが必要

ホライズン近傍で
計量の勾配がきつくなる

ホライズン周りで特別な取り扱い

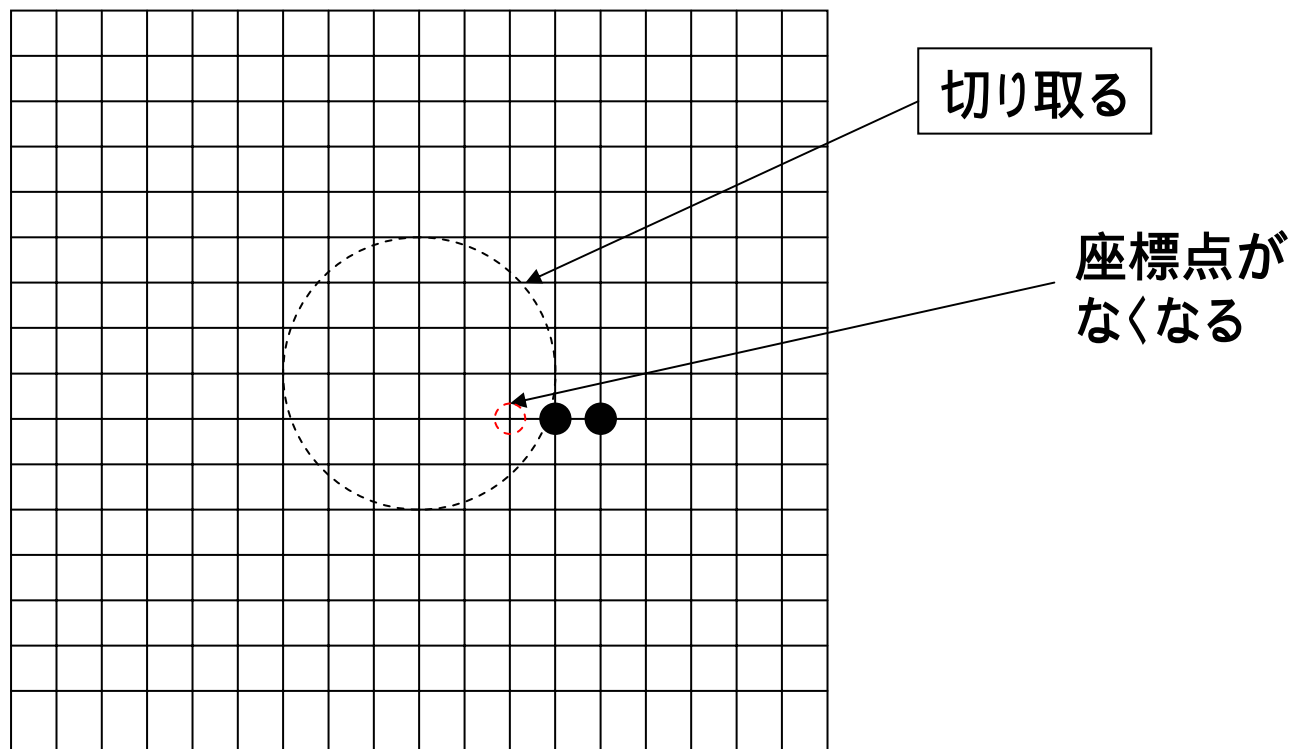
未完

未解決問題：ブラックホールの取り扱い



解決法 (Unruh)

地平線の内側を切り取ってしまえ。



境界条件は？ 安定な数値計算のための定式化や差分法は？

=> 初めに1BHありきならOK

(Potsdam, Cornell, Illinois)。

しかし、途中で形成する場合や2BHの場合は未解決

コードチェックについてのコメント

- 既知の解析解との比較

- ・ 特殊相対論流体:

- リーマンショックチューブ問題、壁衝撃波問題。

- ・ GR (例; S 9 9、Fontら 0 2)

- 線形重力波 (Teukolsky wave)。

- 安定な球対称星を長時間安定に保つ。

- 球対称星の既知の固有振動 (球対称、非球対称)。

- 安定な回転星を長時間安定に保つ。

- 球対称ダストの重力崩壊。

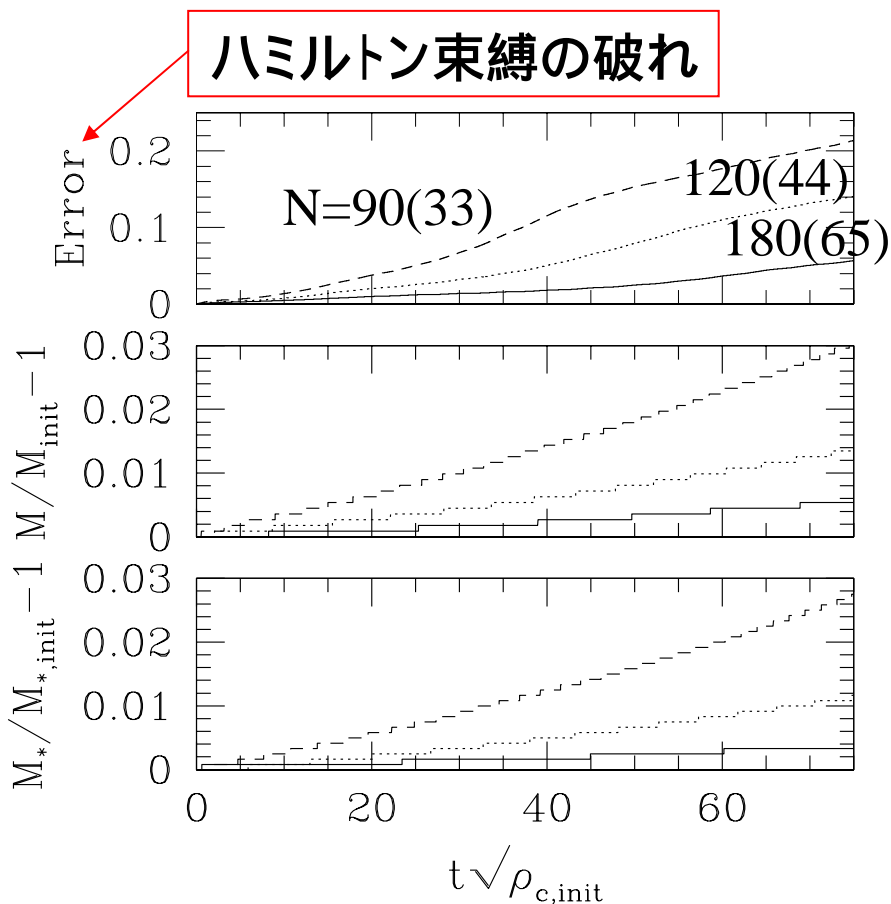
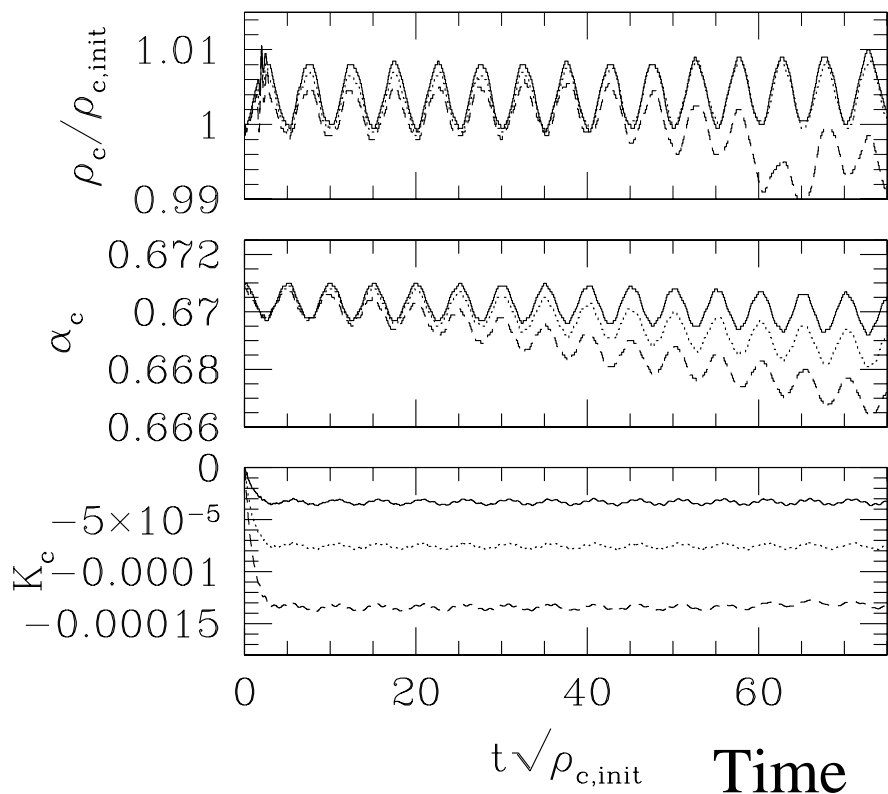
- 不安定な星の重力崩壊。

- + 形成するブラックホールの質量のチェック。

- 収束性のテスト: 2 次のコードなら、誤差も 2 次で収束。

- (ただし、衝撃波が存在すると精度が落ちる)

振動する球対称中性子星の進化(軸対称計算)



EOS: $P = (\Gamma - 1)\rho\varepsilon$ with $\Gamma = 2$.

$M = 1.4M(\text{solar})$, $R = 14\text{km}$

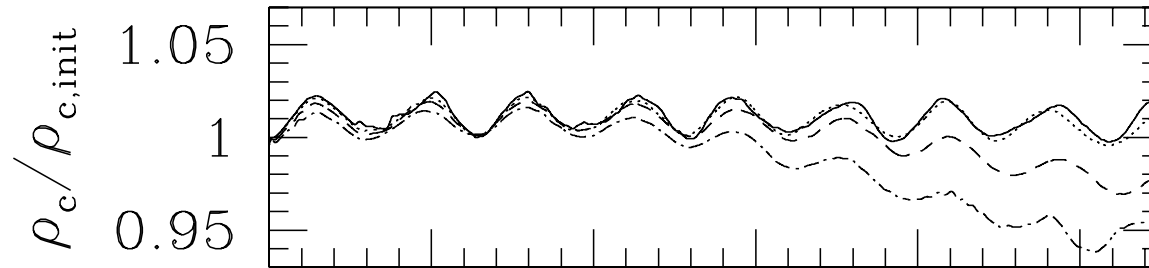
$(N+1, N+1)$ grid ; $N = 90, 120, 180$

NS is covered by 33, 44, 65 points.

**シミュレーションの寿命
~ 30振動周期**

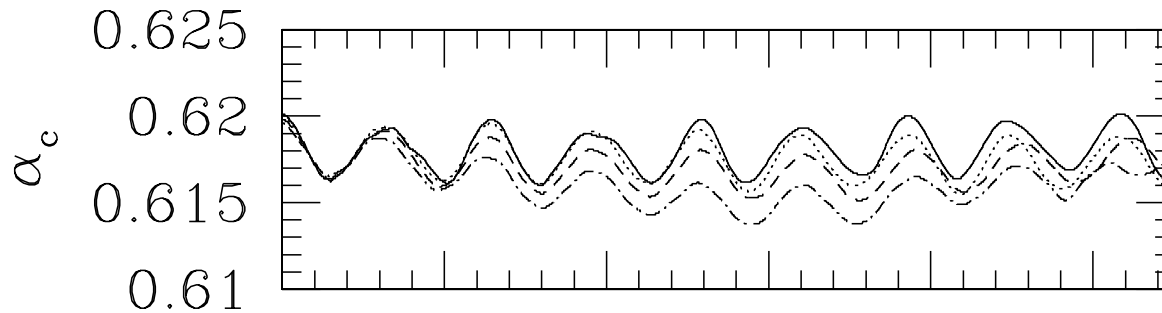
高速剛体回転する中性子星の進化

Density
at $r = 0$



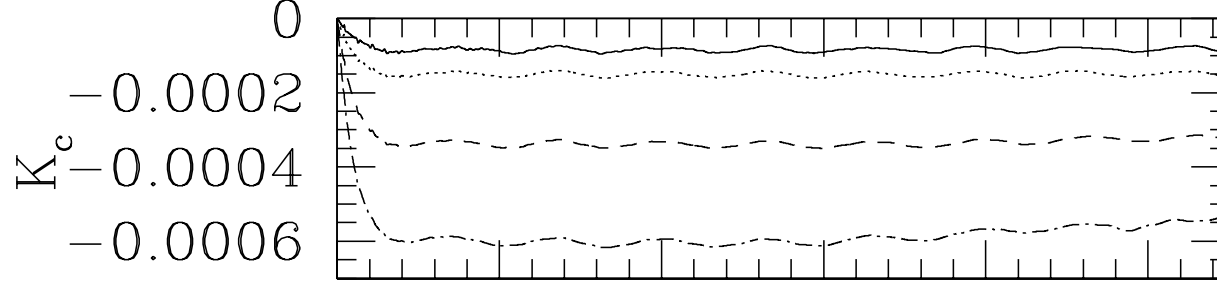
$N=240$ (80)
 180 (60)
 120 (40)
 90 (30)

Lapse
at $r = 0$



~ 10 oscillations

K

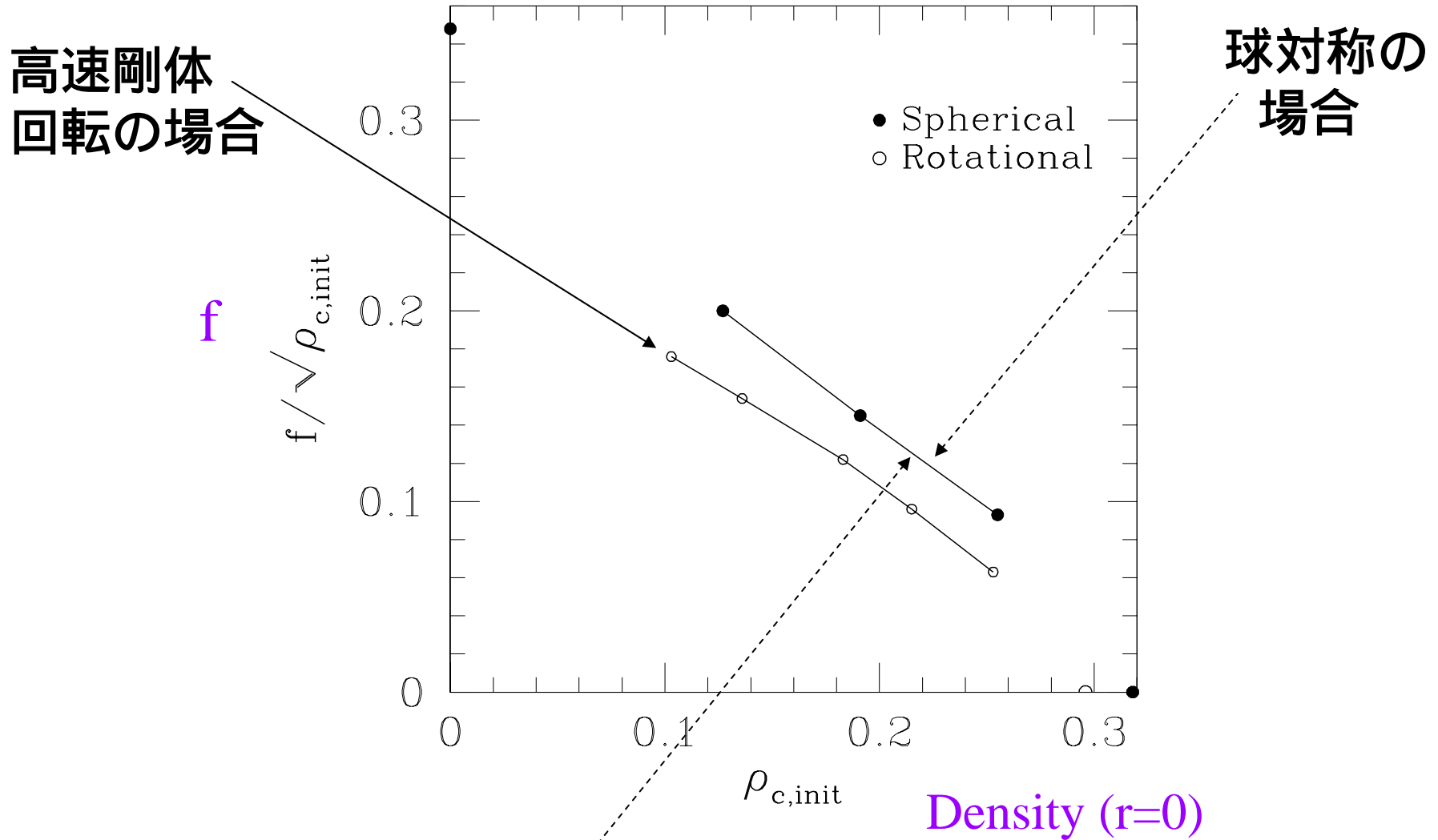


0 10 20 30 40 50

$t\sqrt{\rho_{c,init}}$ Time

$M = 91\%$ of maximum mass

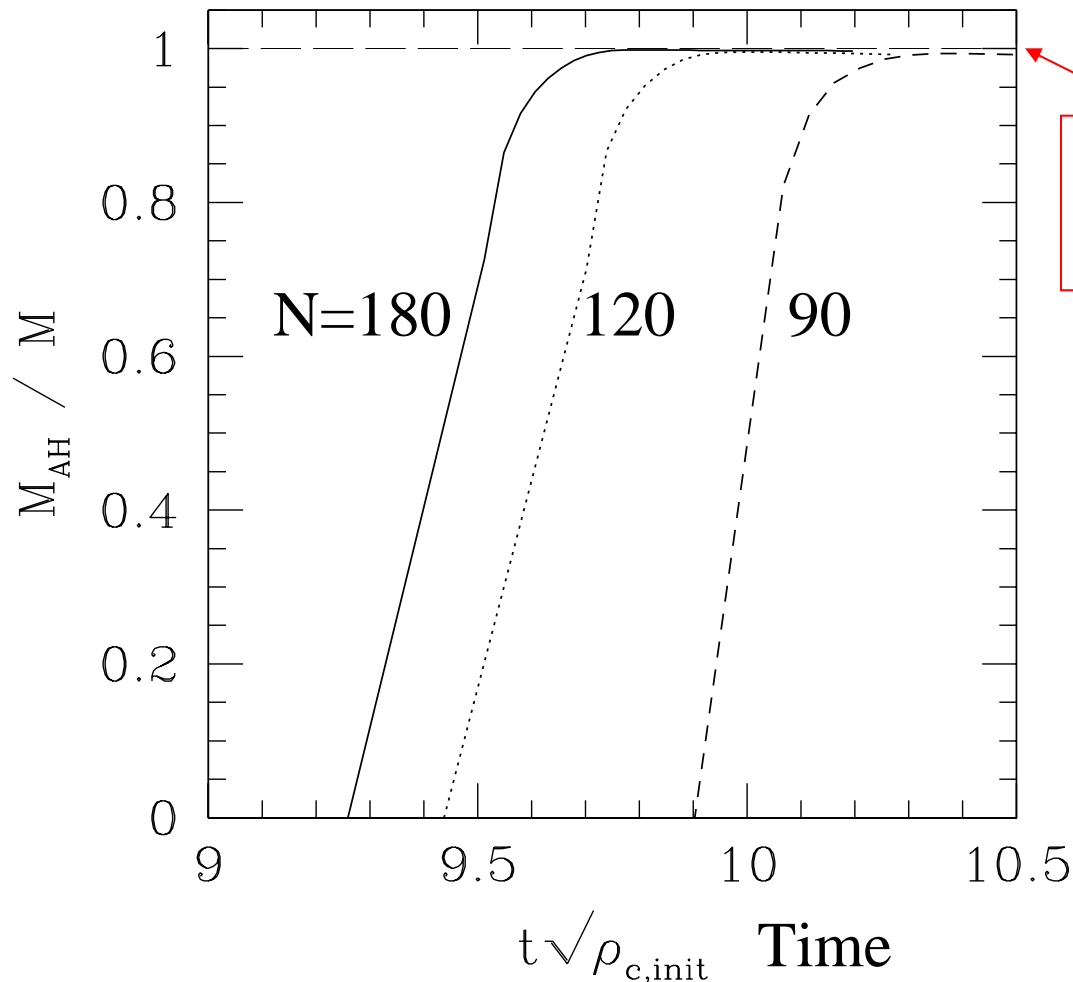
動径振動の固有振動数



チャンドラの公式('64)で計算した結果と一致

不安定な球対称中性子星の ブラックホールへの重力崩壊

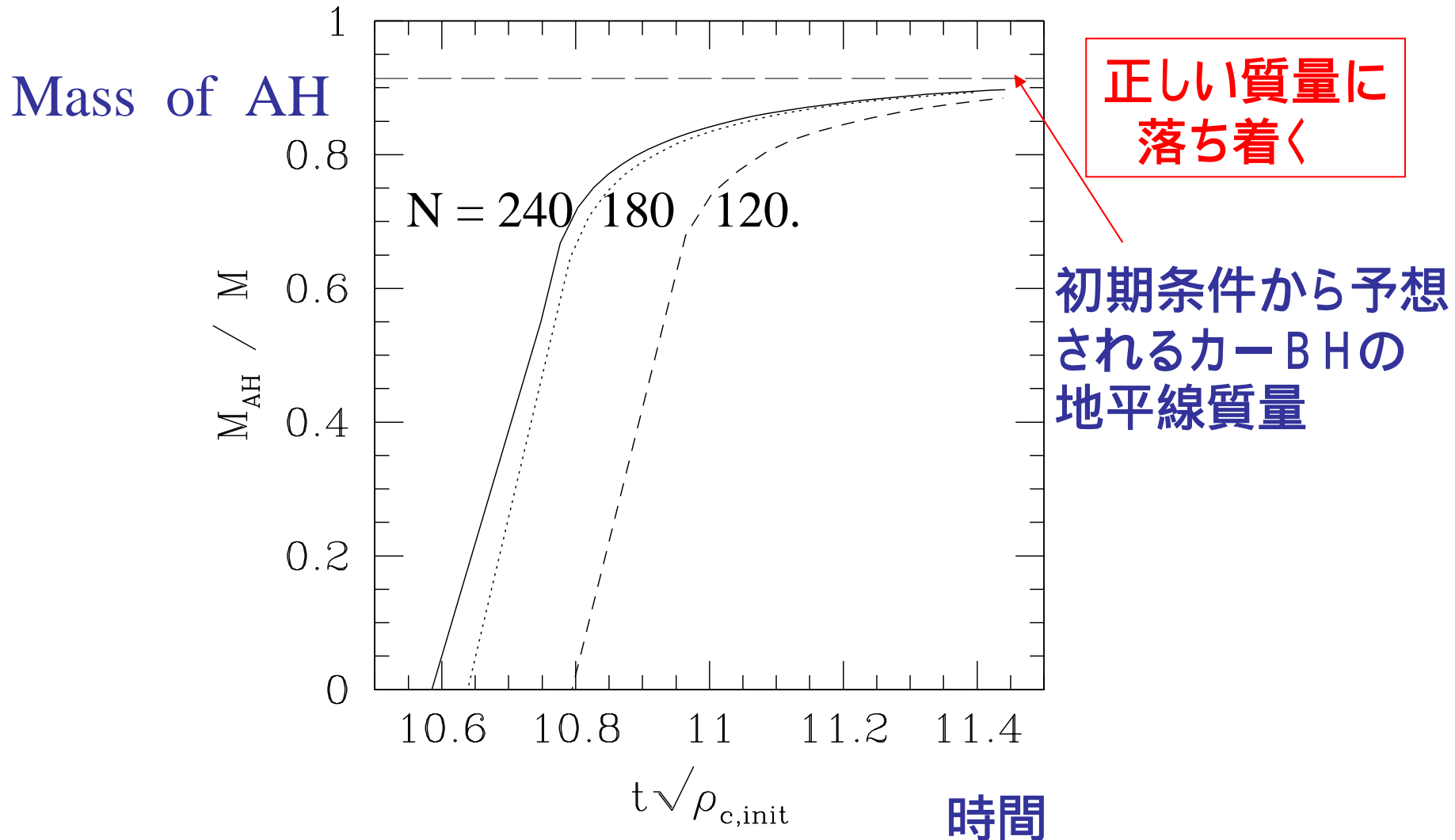
Mass of Apparent horizon in units of ADM mass



正しい質量に
落ち着く

NS is initially covered by $N/2$ points

不安定な中性子星のブラックホールへの 重力崩壊 (カーパラメータ $a = 0.56$)



3. 3D数値相対論：私の計算例

- 現在比較的容易に(講演者が)実行可能な対象：
連星中性子星の合体(次の大原さんの話も参照)
回転中性子星の動的安定性など
(重力崩壊、非軸対称不安定性)
- 興味はあるが手付かず：
ブラックホール - 中性子星連星の合体、潮汐破壊

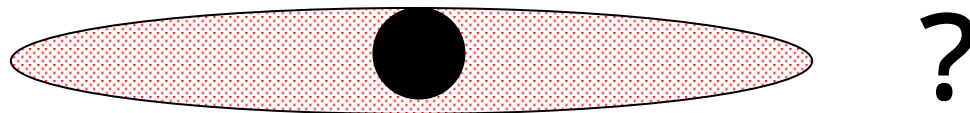
連星中性子星の合体：まず動機

・合体で誕生するのは、中性子星かブラックホールか？

$$1.4M_{\odot} + 1.4M_{\odot} = 2.8M_{\odot} > 2M_{\odot}, \quad \text{NS+NS=BH?}$$

Maximum mass	Soft EOS	Stiff EOS
Spherical	$\sim 1.5M_{\odot}$	$\sim 2.0M_{\odot}$
Rigid Rotation +20%	$\sim 1.8M_{\odot}$	$\sim 2.4M_{\odot}$
Differential Rotation $+>50\%$	$>2.3M_{\odot}$	$>3.0M_{\odot}$

・合体後、ブラックホールが誕生したならディスクは形成されるか？



・重力波の特徴は？特徴的周波数は？

たぶん、周波数は3kHz程度なので、普通のレーザー干渉計で検出するのは困難。しかし、特殊なデザインの干渉計やバー型検出器のよいターゲットには？

セットアップ: 現状 (柴田-瓜生, PTP 107, '02)

- ・状態方程式 $t = 0: P = K \rho^\Gamma$
- $t > 0: P = (\Gamma - 1)\rho\varepsilon: \Gamma = 2 \text{ \& } 2.25 \text{ (Here 2.25)}$

初期条件 = 準平衡状態(瓜生、谷口)

Compactness	Total rest mass	(Kerr parameter) Spin parameter	m_2 / m_1
$(M/R)_\infty$	$M_{*TOTAL} / M_{*Max} (J=0)$	J / M^2	
● 0.12	1.16	1.00	1
● 0.14	1.35	0.95	1
● 0.16	1.50	0.91	1
● 0.12 vs 0.14	1.25	0.95	0.86
● 0.16 vs 0.18	1.58	0.89	0.905

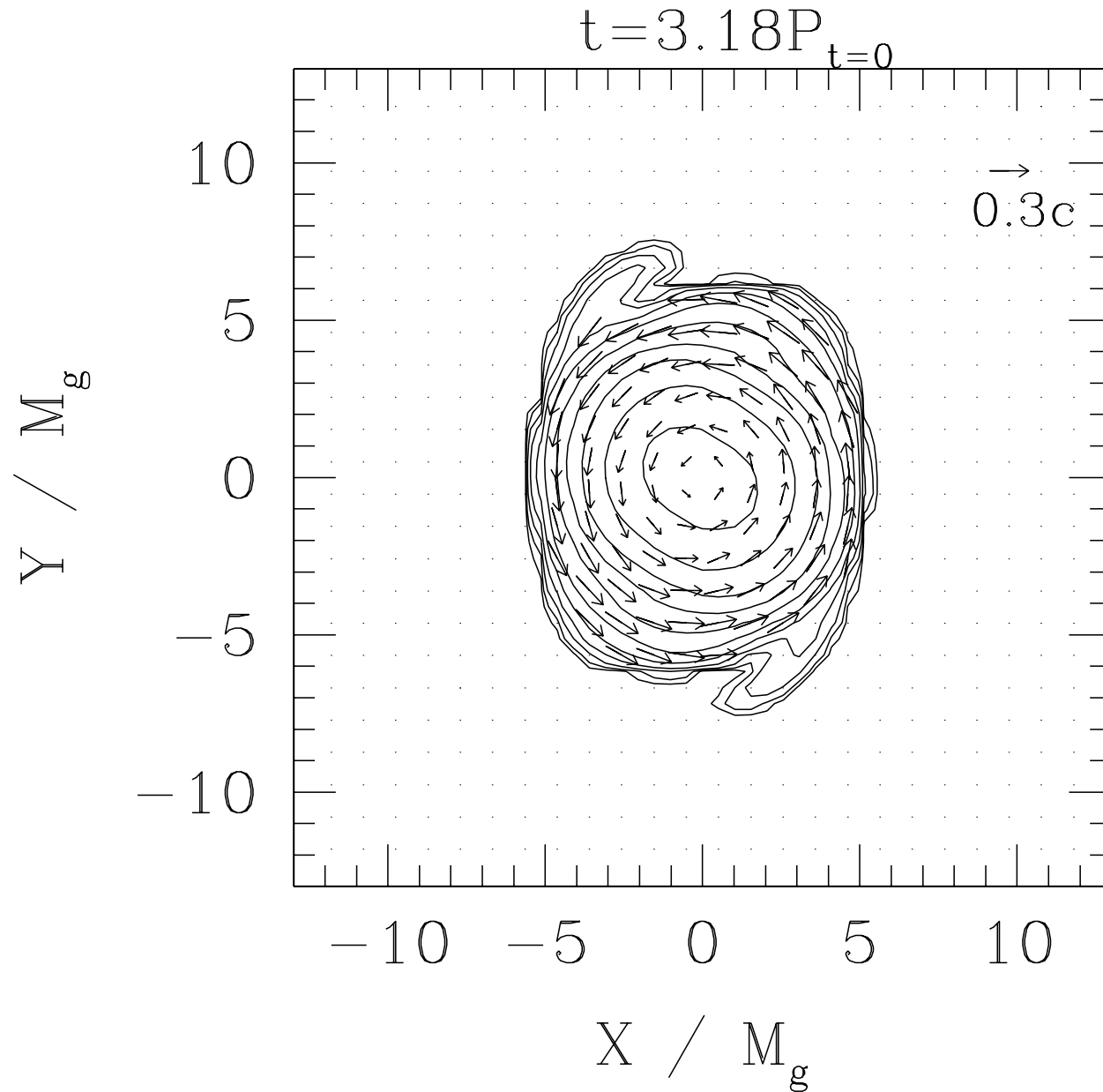
等質量

M_{*TOTAL} : Total rest-mass

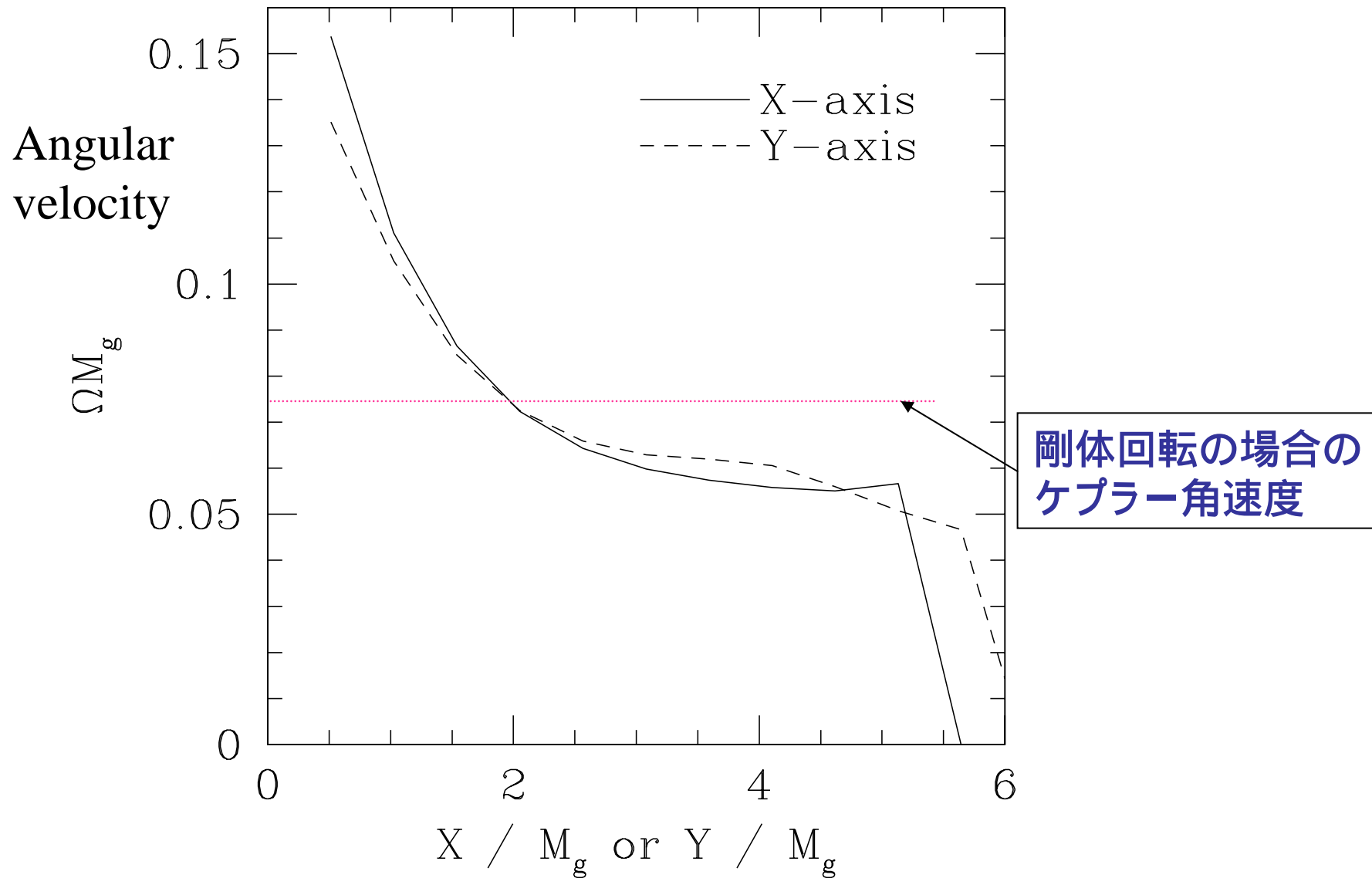
M_{*Max} : Maximum rest-mass of spherical star in isolation

Note $(M/R) = 0.14 \text{ \& } 0.16$ mean
 $R = 15\text{km} \text{ \& } 13\text{km}$ if $M = 1.4$ Solar mass

M/R = 0.12 equal mass case : **重い中性子星の形成**

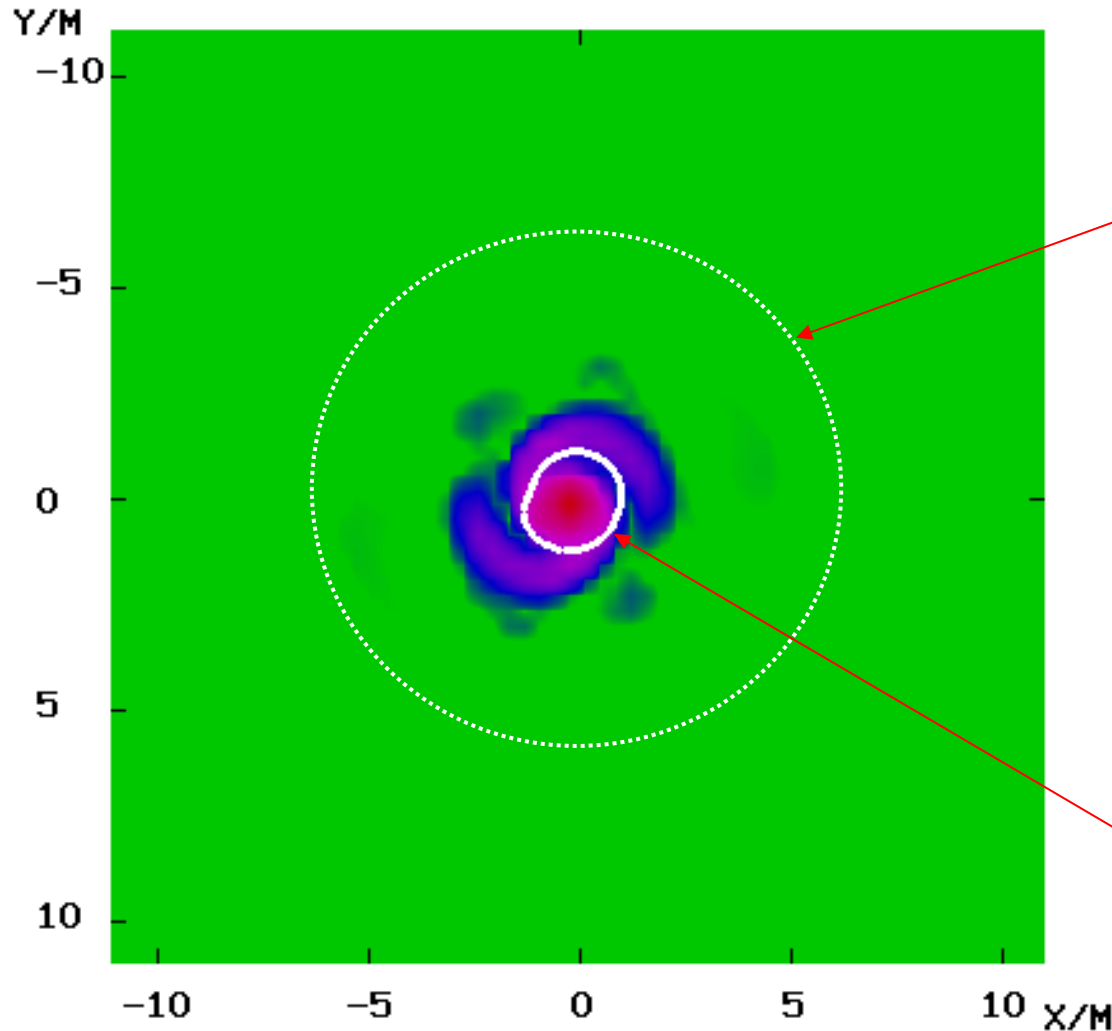


形成された重い中性子星 = 高速差動回転



ブラックホール誕生時のディスク質量

= Negligible for merger of equal mass.



$r = 6M.$

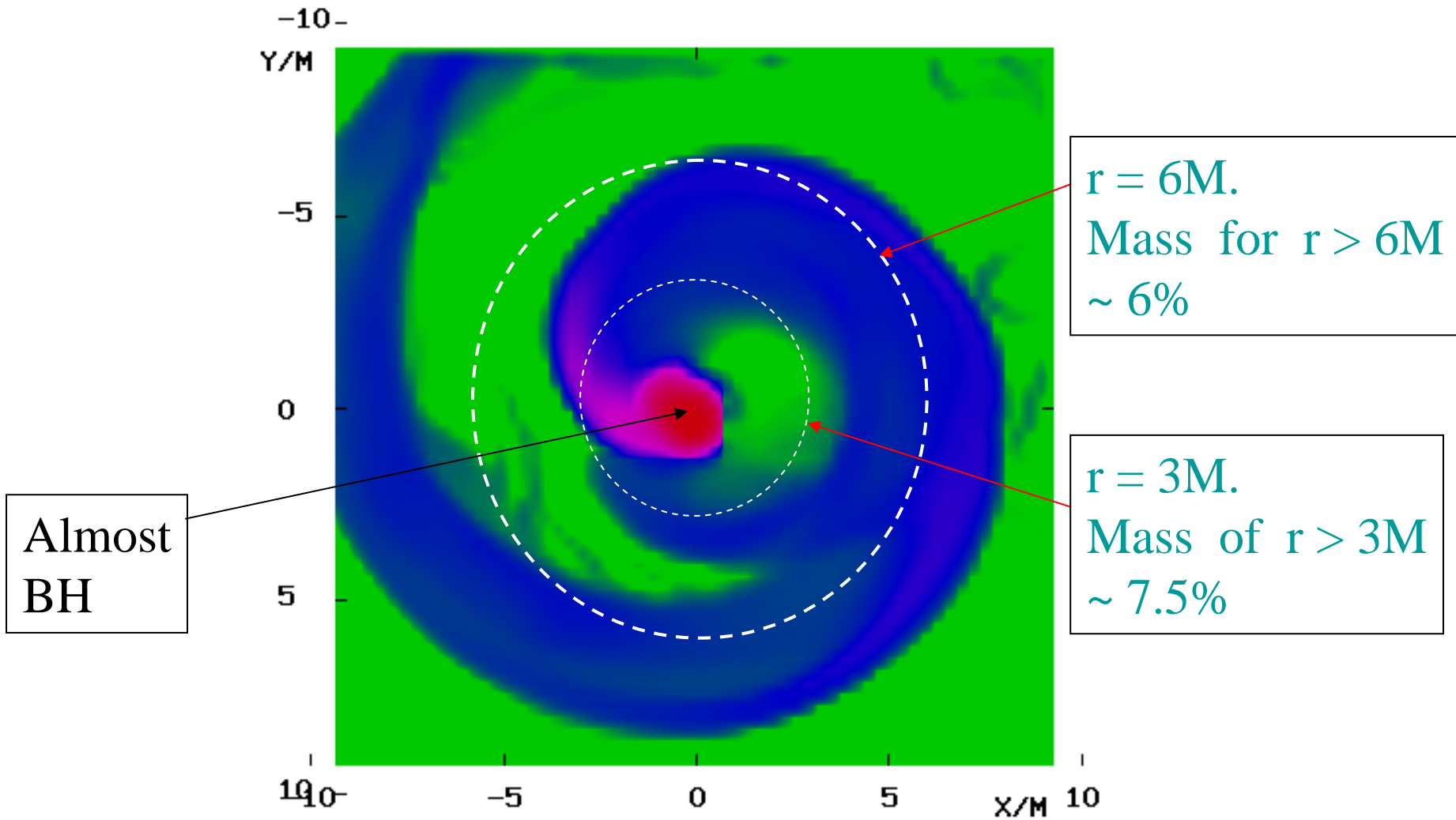
Mass for $r > 6M$
 $\sim 0\%$

Mass for $r > 3M$
 $\sim 0.1\%$

Apparent
horizon

非等質量合体におけるディスクの質量

質量比およそ0.9



Disk mass ~ 0.1 Solar_{mass}

合体後に形成される天体に関するまとめ

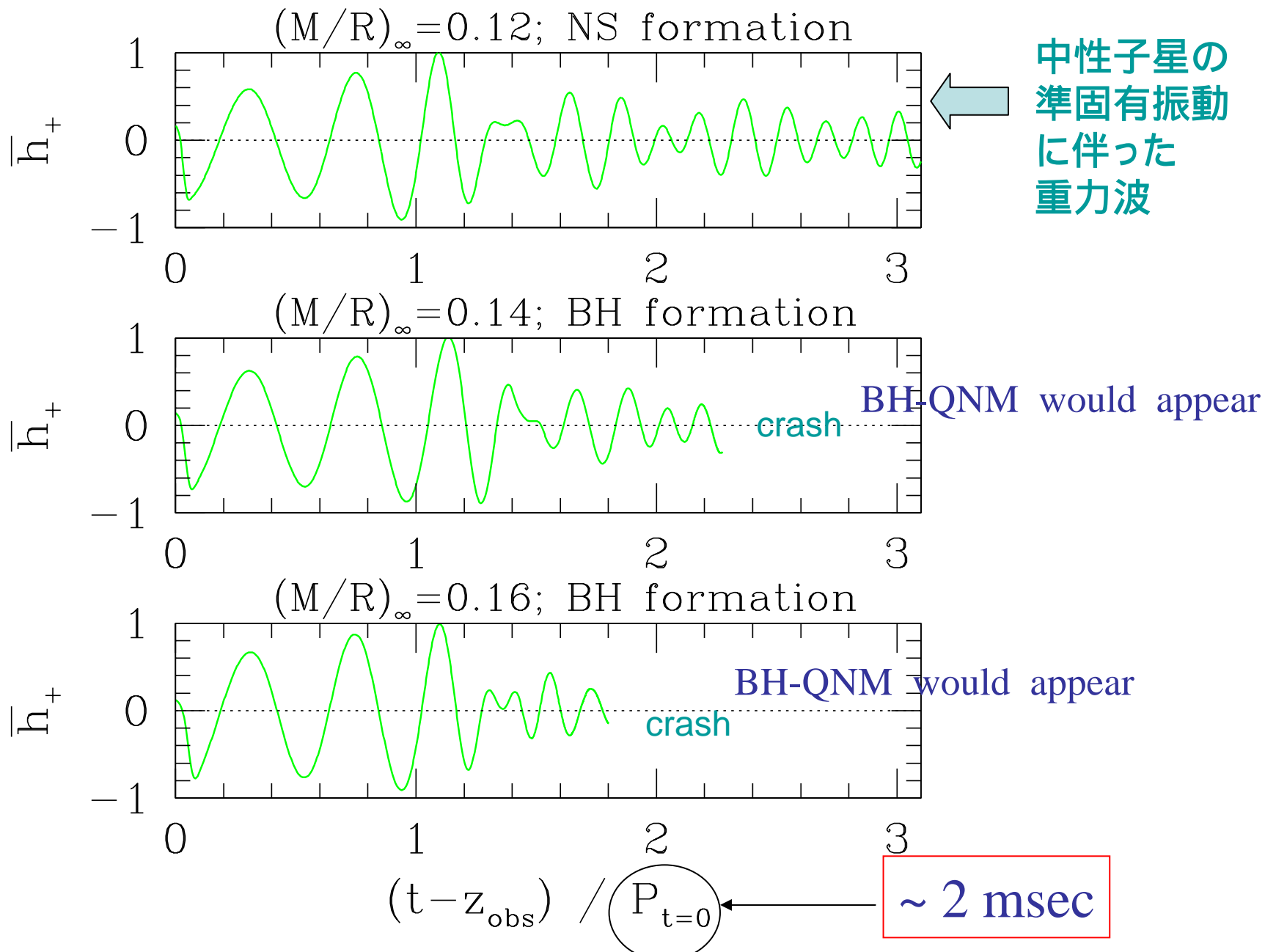
等質量の場合

- ・ Low mass cases
数秒程度は生き延びるであろう重い中性子星
- ・ High mass cases
ブラックホール。周りにディスクは形成されない。

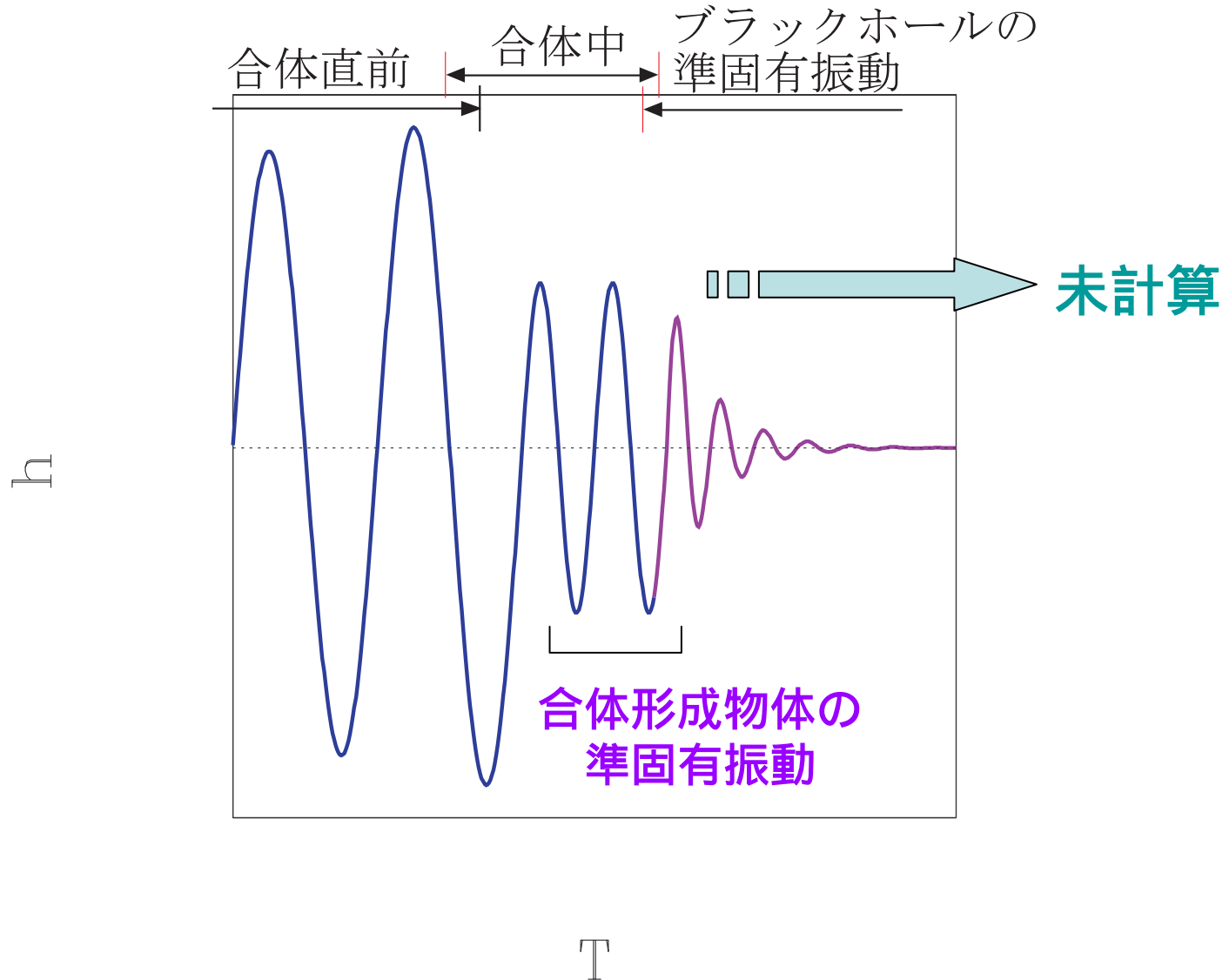
10%程度質量が異なる場合

- ・ Low mass cases
数秒程度は生き延びるであろう重い中性子星
- ・ High mass cases
ブラックホール。ディスクが形成されうる。

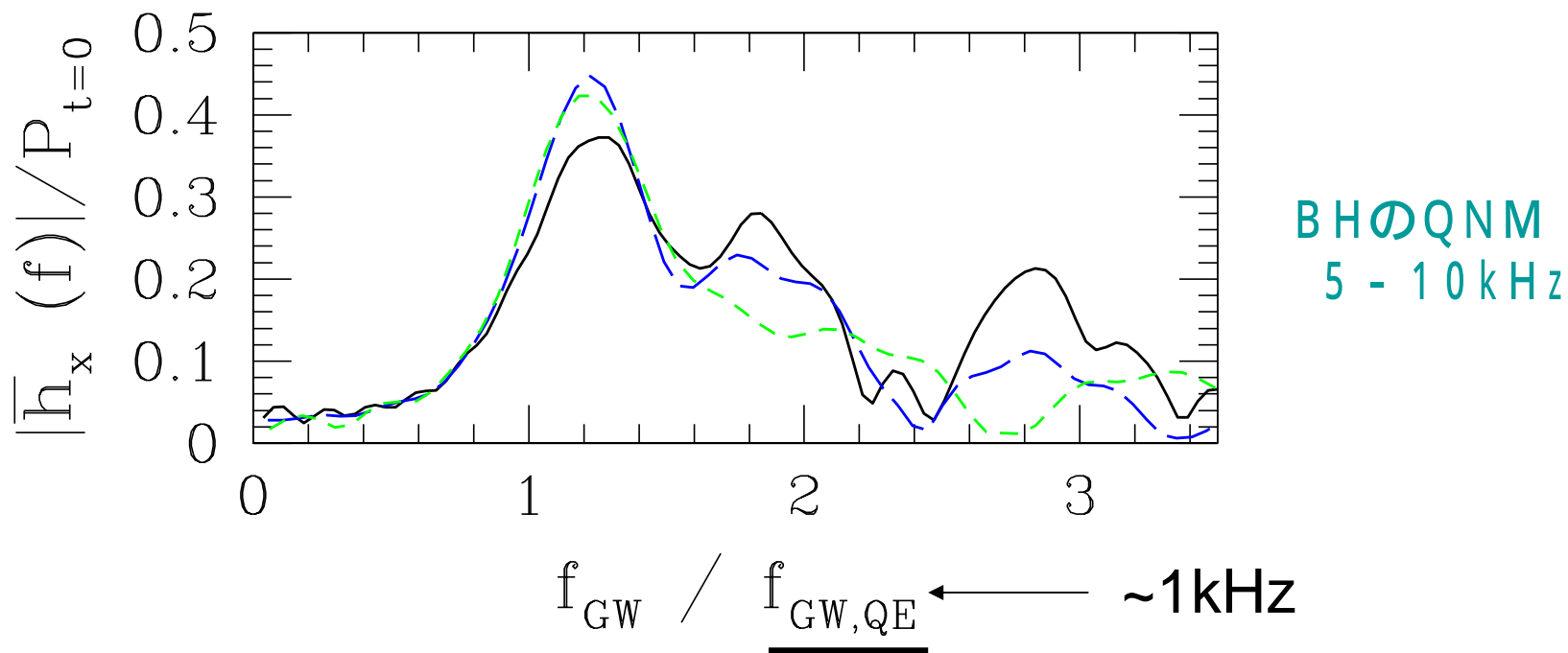
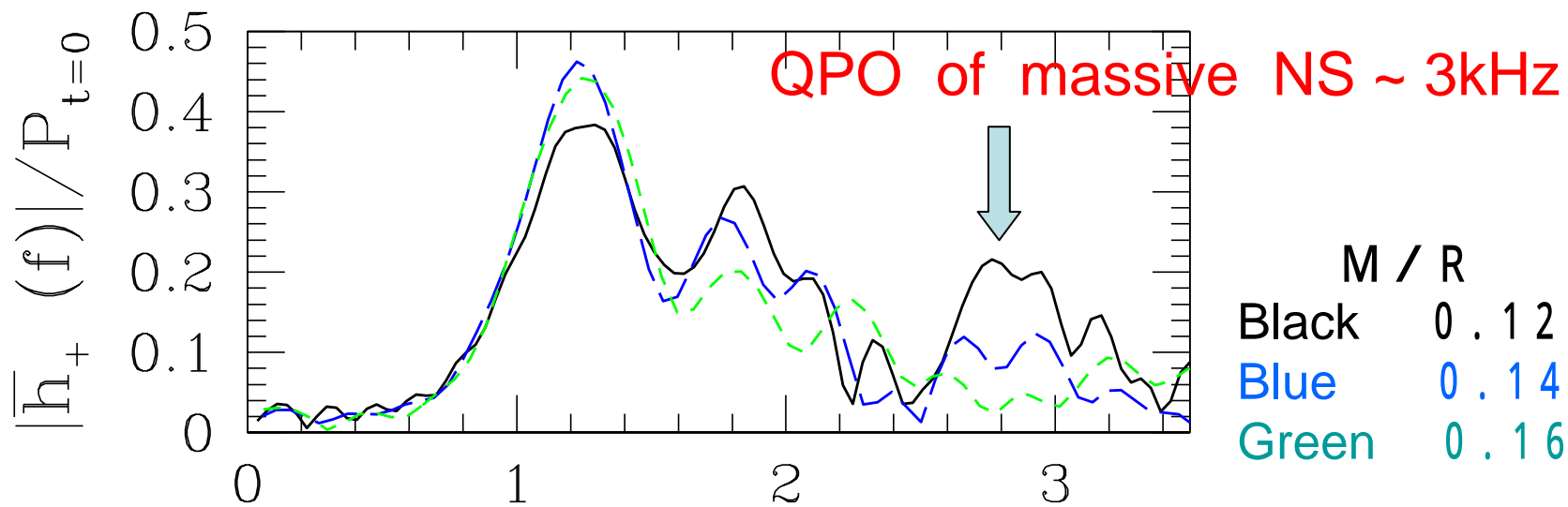
Z軸で捕らえた重力波の波形



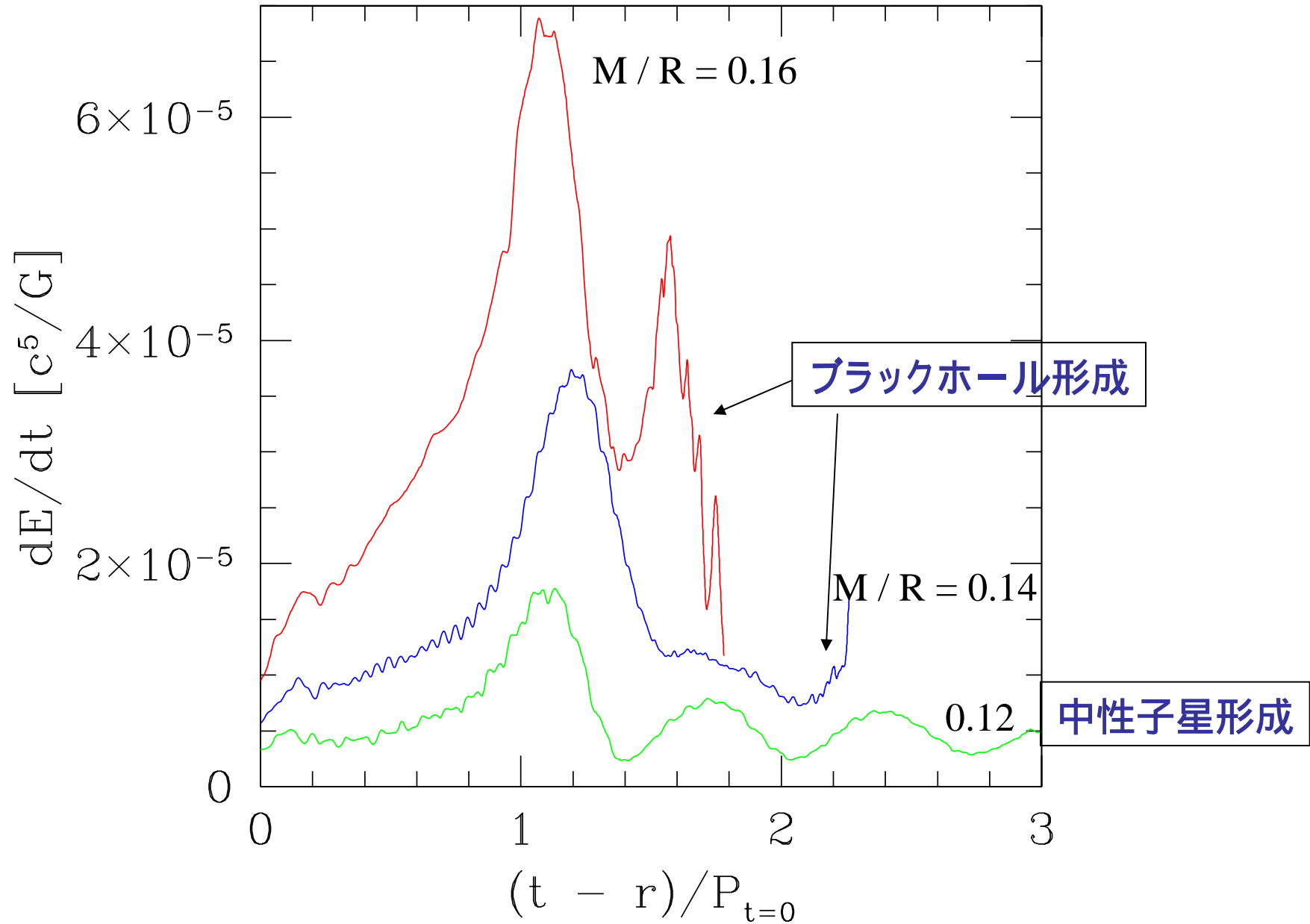
ブラックホールが速やかに形成する場合の 予想重力波波形



重力波の波形のフーリエスペクトル



重力波光度



重い中性子星の運命

- GW Luminosity $\frac{dE}{dt} \approx 10^{-6} \left(\frac{c^5}{G} \right)$
- Potential energy $W \sim \frac{GM^2}{2R} = 0.1Mc^2 \left(\frac{5GM}{Rc^2} \right)$
- Kinetic energy $T \sim (0.1-0.2)W \sim 10^{-2} Mc^2 \left(\frac{5GM}{Rc^2} \right)$

M : Mass, R : Typical radius of massive NS

$$\Rightarrow \text{GW emission timescale} \sim \frac{T}{dE/dt} \sim 10^{-1} \left(\frac{M}{3M_{\square}} \right) \left(\frac{5GM}{Rc^2} \right) \text{ Sec}$$

重力波放出後に角運動量を失い、重力崩壊

4 . 大規模・軸対称数値的相対論

何故今、軸対称に回帰?

- ポツダムของกลุ่มによって、安定に長時間シミュレーションするための、**新しい技法**が考案された
- アダプティブメッシュ法のような特殊な方法に頼らなくても、現状のコンピュータパワーならば、**1000²**のメッシュは簡単に取ることが出来る。
- 3D計算の前に様々なテストが**安価**で可能。
- **重力崩壊によるブラックホールの形成**、など解決されていない重要な問題が多く残されている。

計算に要するメモリー

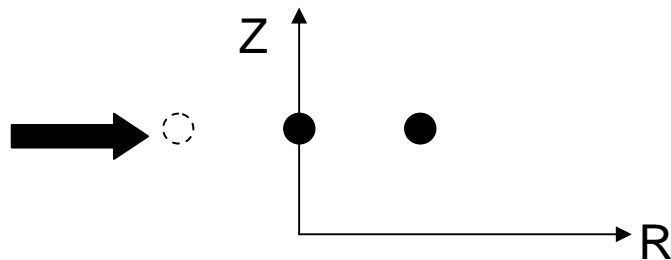
- ・GR code : 変数の数、約200 - 250

$$\text{Memory} = 2\text{GBytes} \left(\frac{N_{\text{var}}}{250} \right) \left(\frac{N}{1000} \right)^2$$

- ・性能の良いパソコンなら $N = 1000$ も十分に可能

何が難しかったのか？

- ・ 軸対称であれば、普通は極座標か円筒座標を使う。
- ⇒ **これらは座標特異点を持つ。**
- ⇒ No negative r, R, θ
- ⇒ 差分を局所的に変える必要あり
- ⇒ 数値不安定化し易い



さらに、正則性を保つための工夫も必要。

正則性問題

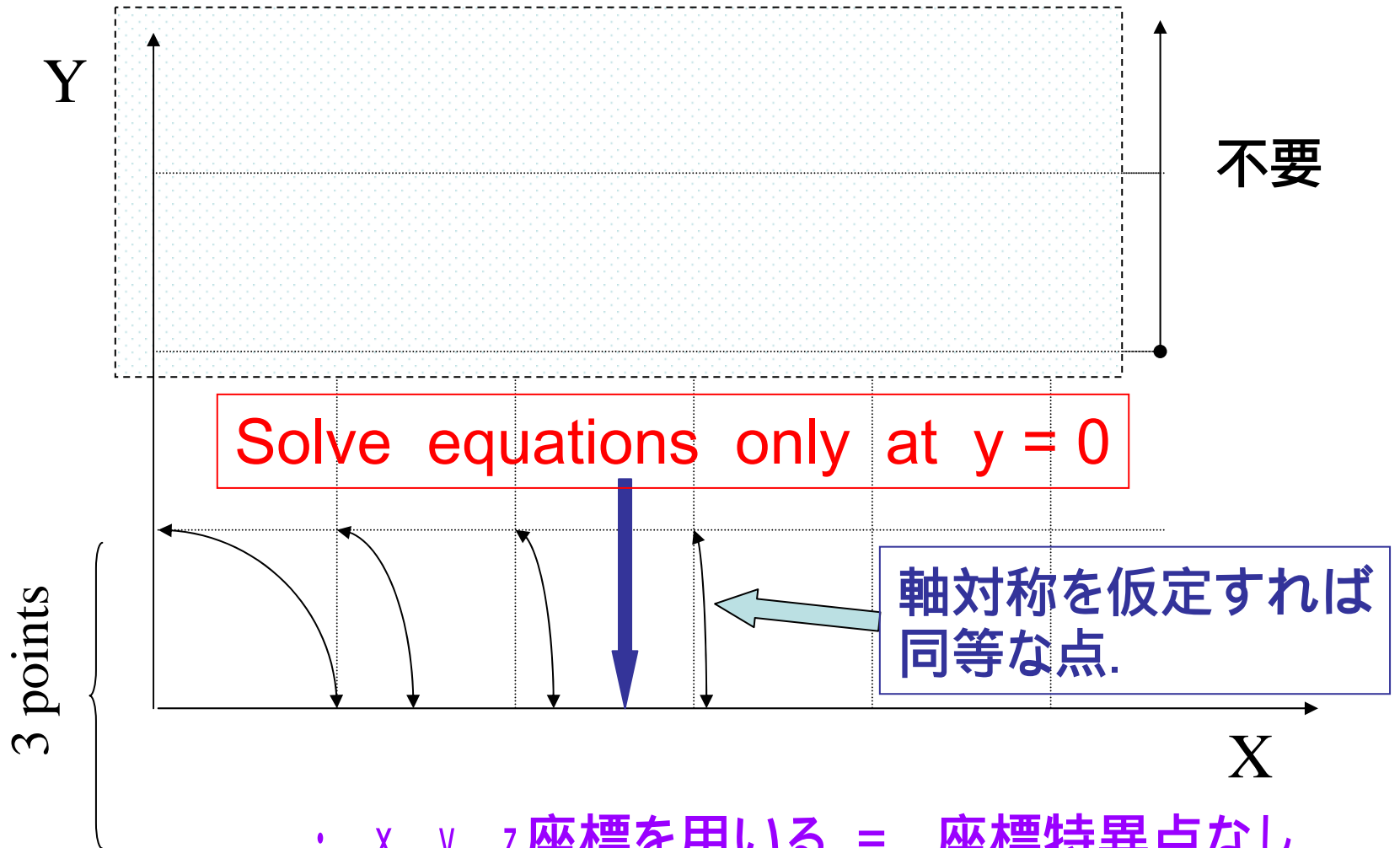
$$\text{Axisymmetry} \Rightarrow L_{\xi} \gamma_{ij} = 0 : \xi^i = \left(\frac{\partial}{\partial \varphi} \right)^i$$

$$\Rightarrow \left\{ \begin{array}{l} \gamma_{RR} = f_3 + f_1 R^2 \\ \gamma_{\varphi\varphi} = R^2 (f_3 - f_1 R^2) \\ \gamma_{R\varphi} = R^3 f_2 \\ \gamma_{Rz} = R f_4 \\ \gamma_{\varphi z} = R f_5 \\ \gamma_{zz} = f_6 \end{array} \right\} f_i = f(x, y, z) : \text{Regular func.}$$

$$\text{e.g., } \frac{1}{R^2} \left(\gamma_{RR} - \frac{\gamma_{\varphi\varphi}}{R^2} \right) \text{ should be regular}$$

特殊な取り扱いが必要。数値不安定性が頻繁に発生

Cartoon法のレビュー



- ・ x 、 y 、 z 座標を用いる = 座標特異点なし
- ・ 軸対称境界条件を $y = +, -\Delta y$ にて付加
- ・ Total grid number = $N * 3 * N$ for (x, y, z)

私の計算例：回転星の重力崩壊

- Parametric EOS (Following Mueller, Dimmelmeier, ...)

$$P = P_{\text{Polytrope}} + P_{\text{Thermal}}$$

$$P_{\text{Thermal}} = (\Gamma_{\text{Thermal}} - 1) \rho \varepsilon_{\text{Thermal}}$$

$$P_{\text{Polytrope}} = \begin{cases} K_1 \rho^{\Gamma_1} & \rho \leq \rho_{\text{Nuc}} \\ K_2 \rho^{\Gamma_2} & \rho \geq \rho_{\text{Nuc}} \end{cases}$$

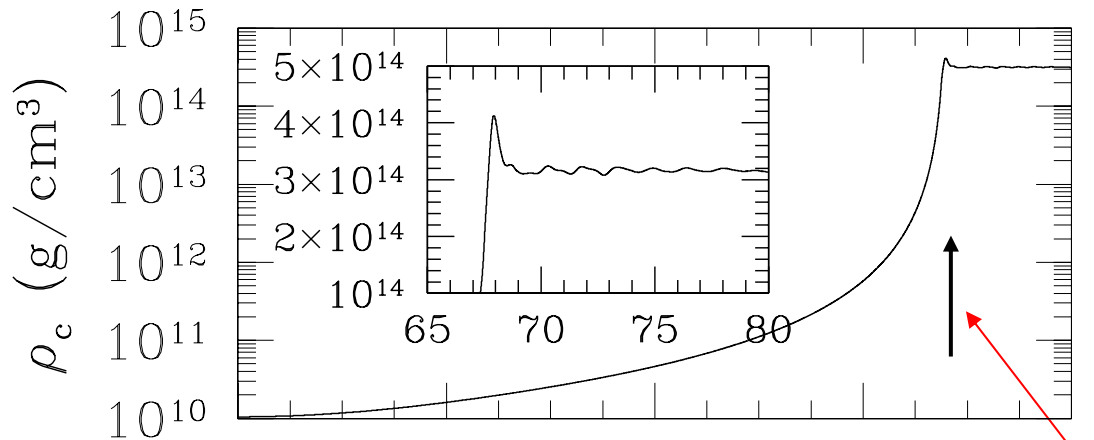
$$\varepsilon_{\text{Thermal}} = \varepsilon - \varepsilon_{\text{Polytrope}}$$

$$\Gamma_1 \sim \frac{4}{3} \quad \Gamma_2 \geq 2 \quad \Gamma_{\text{Thermal}} = 1.5$$

$\Gamma = 4/3$ & $\rho \sim 1.e10$ g/cc の回転平衡形状を初期条件

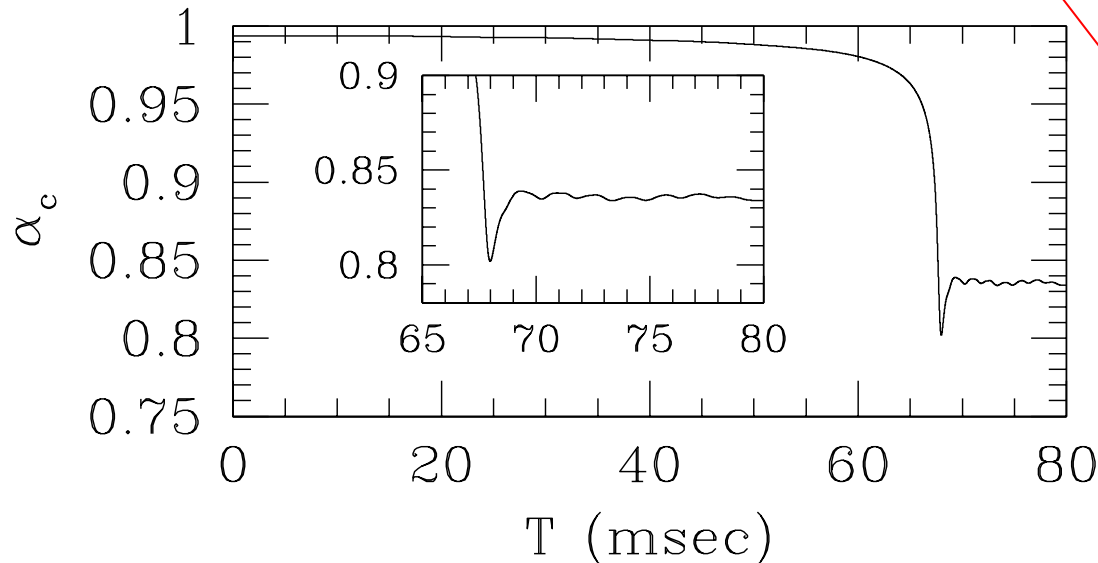
Collapse from a rigidly rotating initial condition with central density $\sim 1e10$ g/cc

Density
at $r = 0$



At $t = 0$,
 $T/W = 9.e-3$
 $\rho(r=0) = 1.e10$
 $M = 1.49$ Solar
 $J/M^2 = 1.14$

Lapse
at $r = 0$



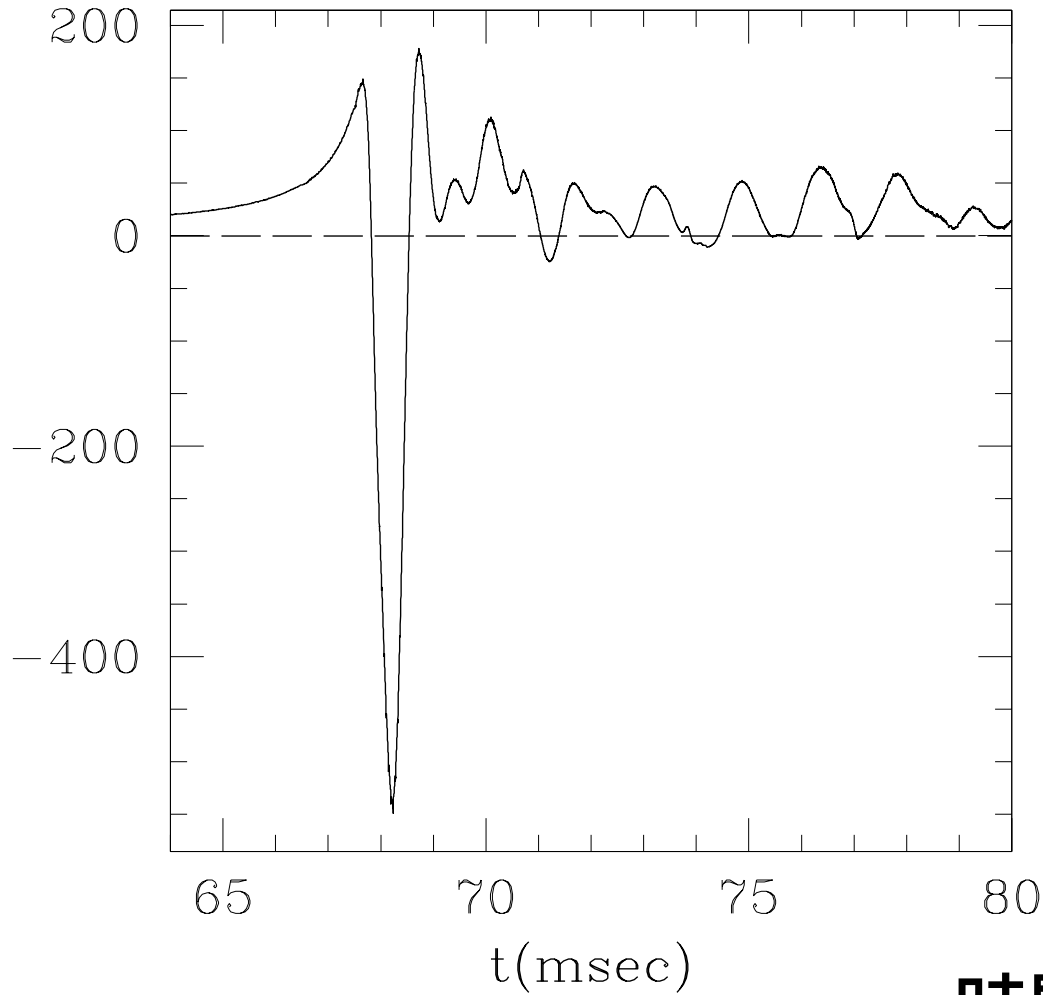
Animation
is started here.

Qualitatively the same as Type I of Dimmelmeier et al (02).

重力波の波形

$$\frac{h_+}{\sin^2 \theta}$$

$$d^2(I_{xx} - I_{zz}) / dt^2 \text{ (cm)}$$



特徴的周波数 = 数 100 Hz

5. まとめ

- ・ **空間3Dの一般相対論的シミュレーションは実行可能である。**
科学的結果 - 例えば連星中性子星の合体後に誕生する天体や重力波の波形 - を得ることができる。

・ 今後の問題

- ・ コンピュータの性能に限界があるので、十分な精度の計算は未だに難しい。(精度倍にはパワー8倍要)
= AMR / FMRなどの技術開発が不可欠。
- ・ ブラックホール形成後のシミュレーションの継続。
- ・ **大規模な軸対称数値的相対論が可能になった。**

ターゲットは以下のような現実的問題の計算:

- 星の重力崩壊によるブラックホール、中性子星の形成
- 中性子星のアクリション起源の重力崩壊
- 中性子星の相転移、など